

# Introduction aux moteurs thermiques

L. Le Moyne  
Université Pierre et Marie Curie

**Turbines à Vapeur**

250 MW à 2,5 GW  
Centrales électriques  
 $\eta = 30$  à  $40$  %  
machines lourdes

**Turbines à gaz**

Jusqu'à 1 MW  
 $\eta = 20$  à  $30$  %  
machines légères 0,95 à 1,4 Kg/KW

**Diesel stationnaire**

Jusqu'à 35 MW  
 $\eta = 50$ %  
machines lourdes 12 à 50 Kg/KW

**Diesel véhicule**

$\eta = 40$ %  
Ferroviaire : 150 à 3000 KW  
6 à 18 Kg/KW

Naval : 12 à 50 Kg/KW

Poids lourds, automobile : 75 à 400 KW  
5 à 7 Kg/KW

**Essence**

1 à 500 KW  
 $\eta = 30$ %  
0,9 à 6 Kg/KW

**Turbo-Réacteur**

Jusqu'à 350 tonnes de poussée (200 MW)  
 $\eta = 25$ %  
Machines légères 0,05 Kg/KW

- Puissance utile.

$$P_v = (C_R M_v g + \frac{1}{2} \rho_a C_D A_v V_v^2) \cdot V_v$$

$C_R$  = coefficient de roulement (0.012 - 0.015)

$M_v$  = masse vehicule

$g$  = accélération pesanteur

$\rho_a$  = masse. Vol. air

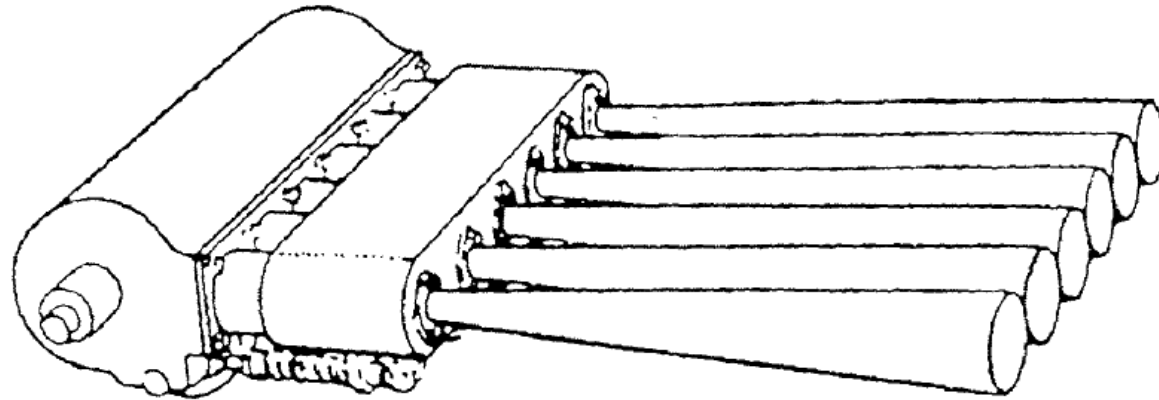
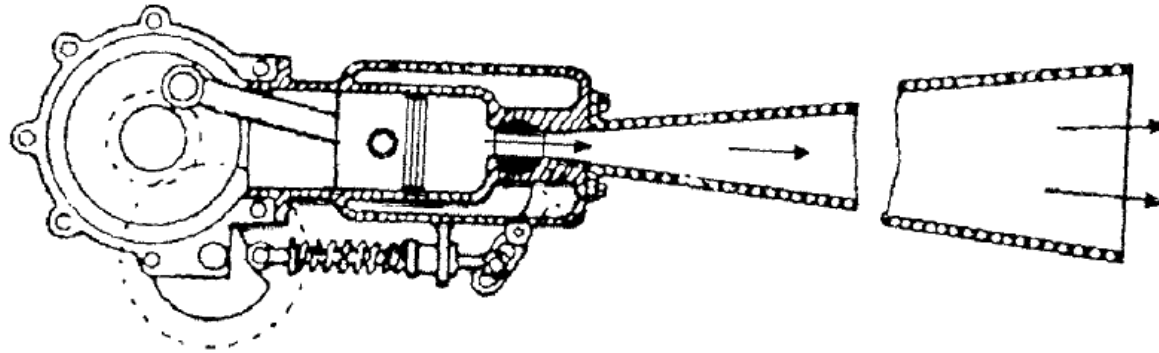
$C_D$  = coefficient de traînée ( 0.3 - 0.5)

$A_v$  = aire frontale vehicule

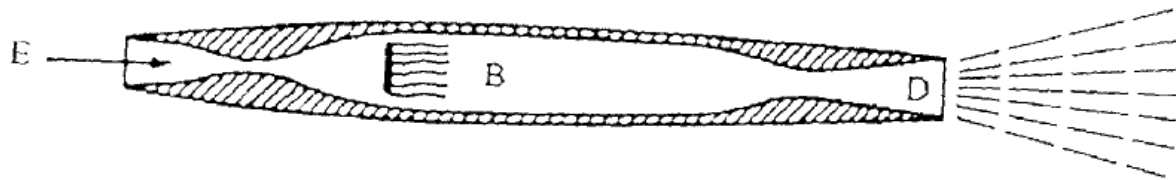
$V_v$  = vitesse vehicule

\* 90 km/hr ~ 5-6 kW (7-8 HP) !

# Architecture



Lorin's 1908

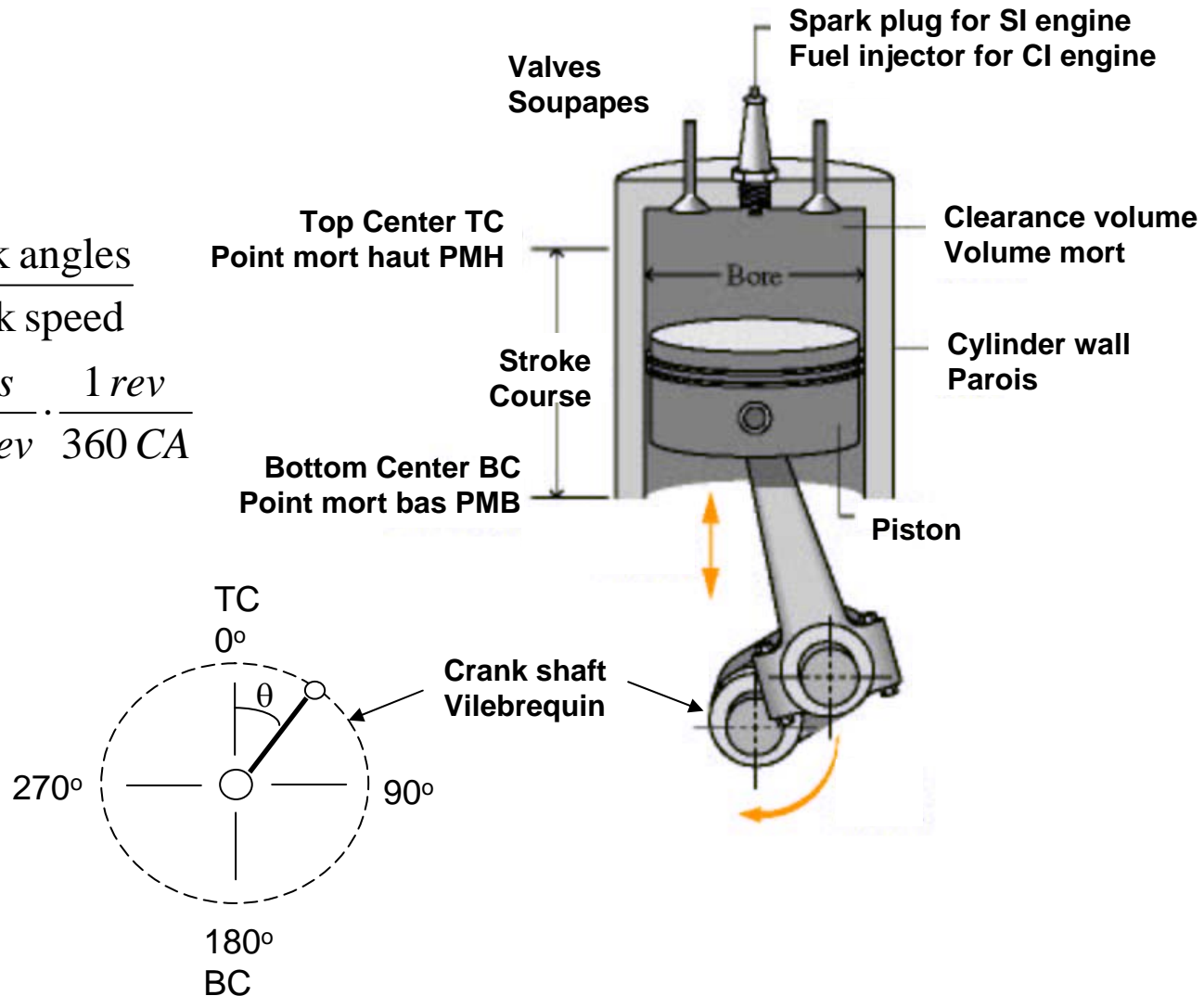


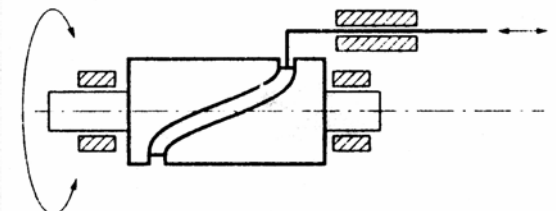
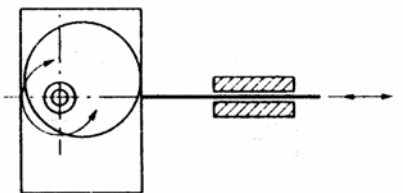
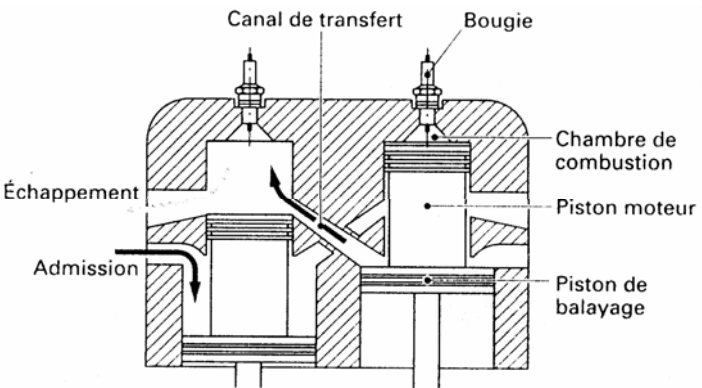
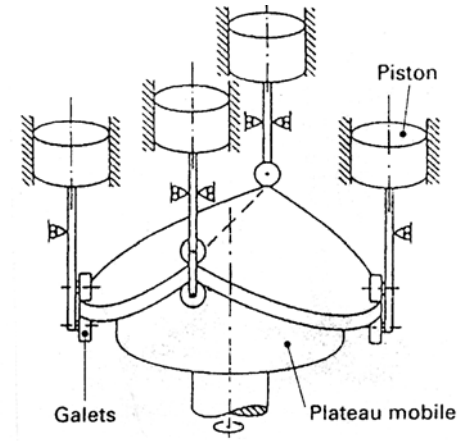
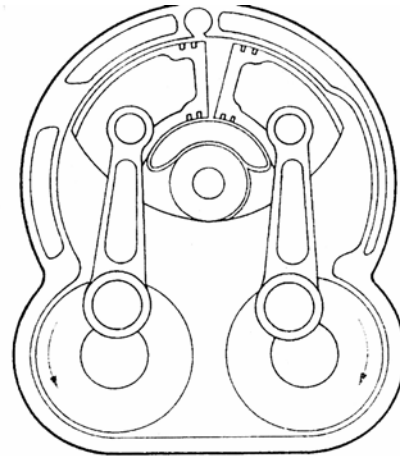
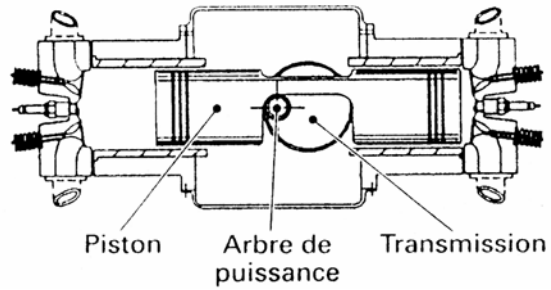
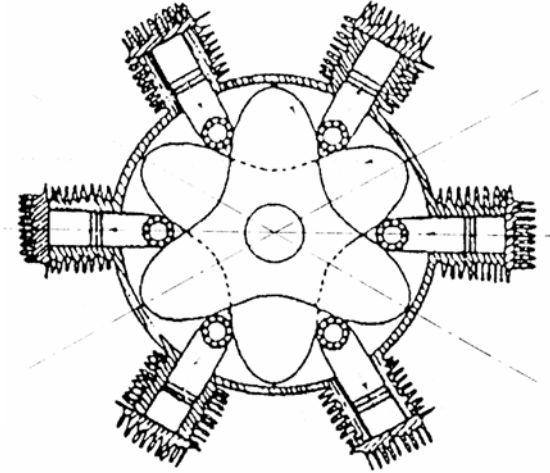
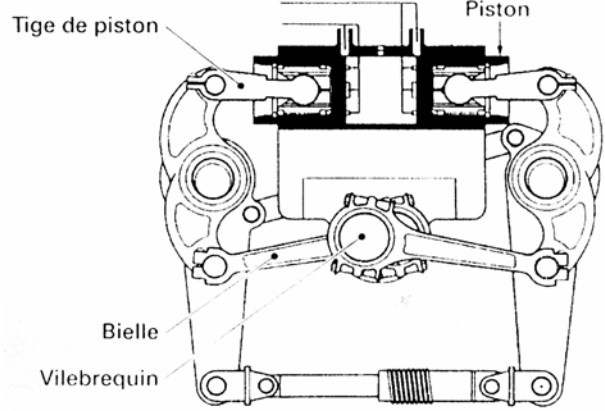
Lorin's 1913

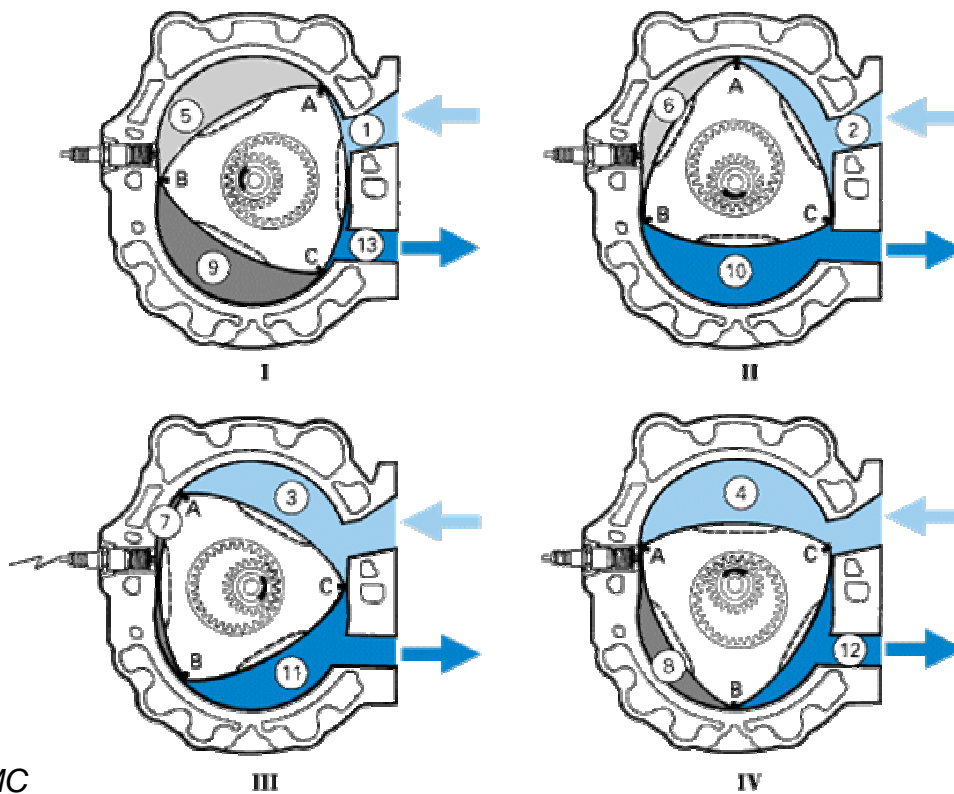
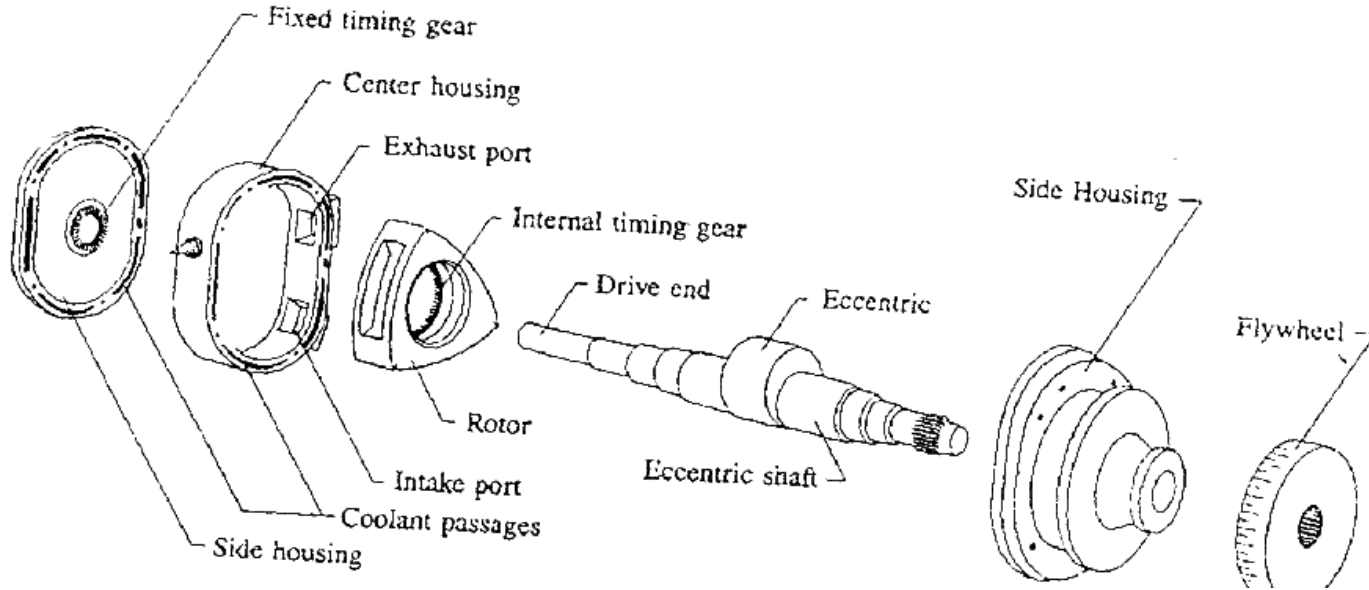
# Systeme bielle-vilebrequin

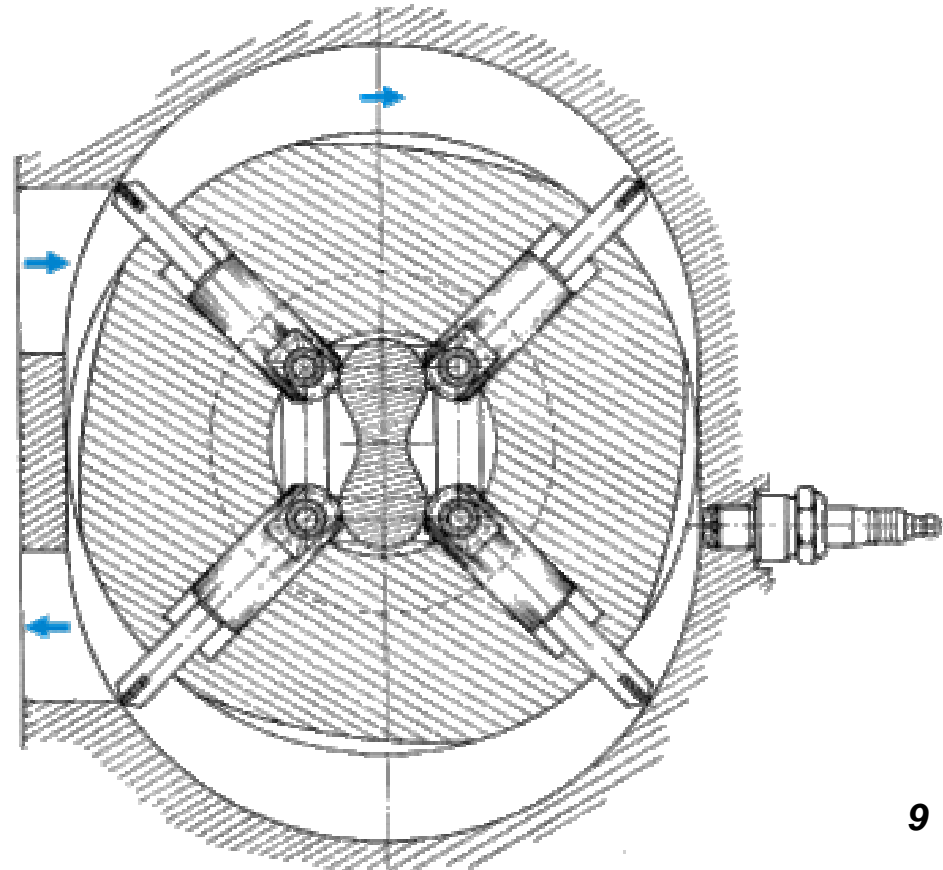
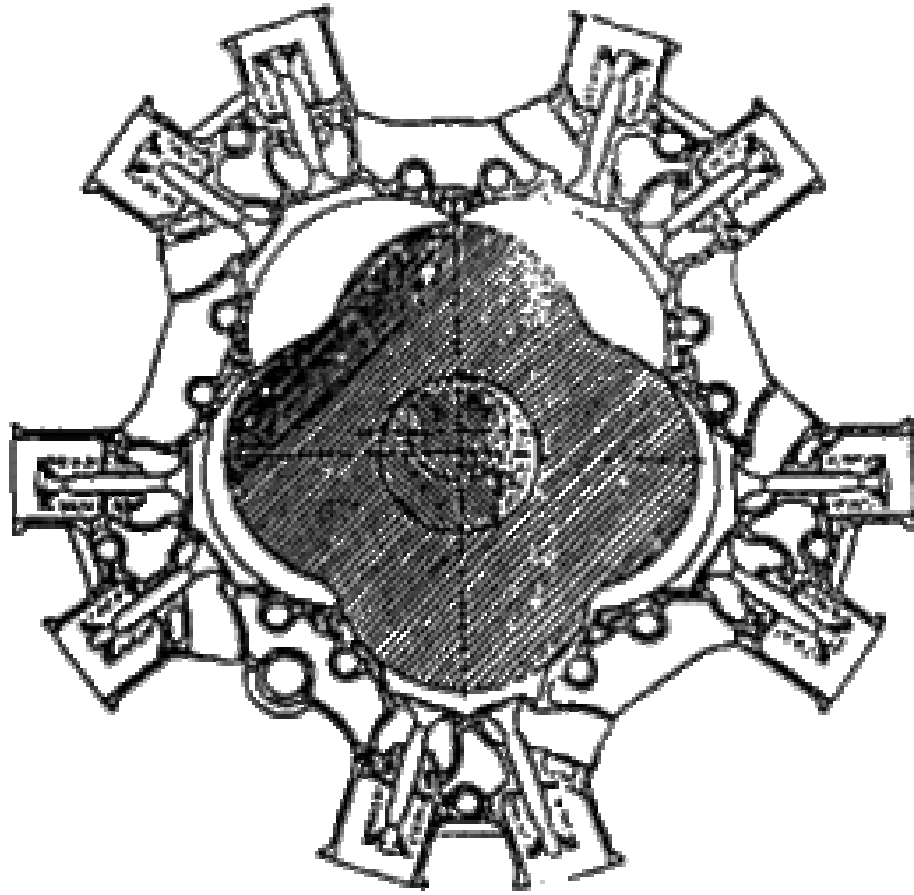
$$\text{time} = \frac{\text{crank angles}}{\text{crank speed}}$$

$$= CA \cdot \frac{s}{\text{rev}} \cdot \frac{1 \text{ rev}}{360 CA}$$

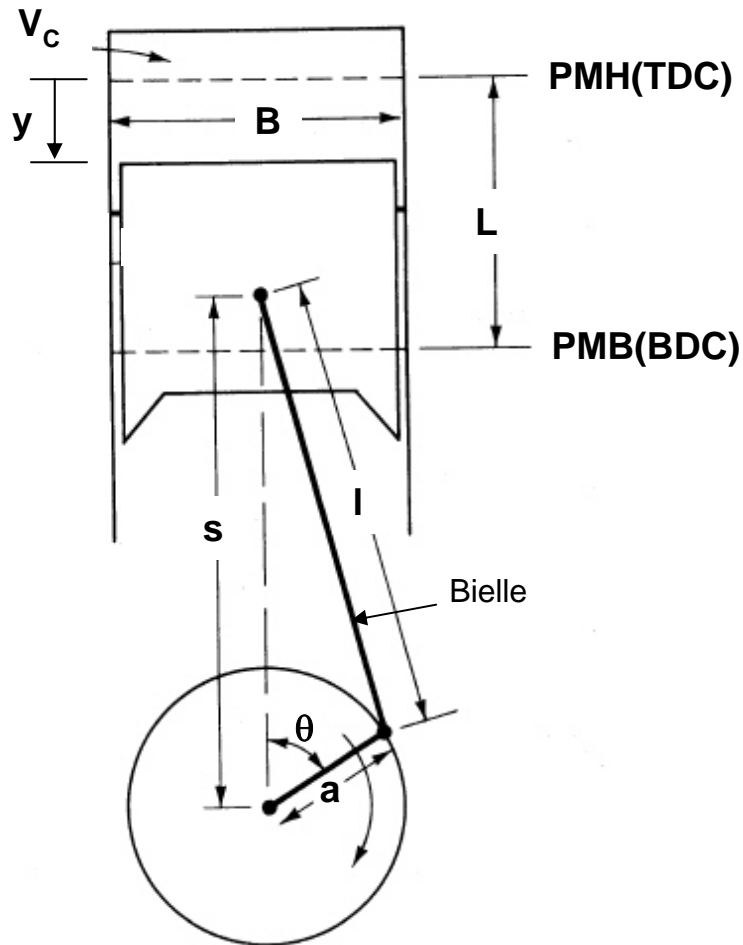








# Système bielle-manivelle



Très souvent  $B \sim L$   
("moteur carré")

Elongation du piston :  $y = l + a - s$

$$s = a \cos \theta + (l^2 - a^2 \sin^2 \theta)^{1/2}$$

Au point mort haut ( $s = l + a$ ), le volume cylindre est minimum: volume mort  $V_c$

En fonction du degré vilebrequin :

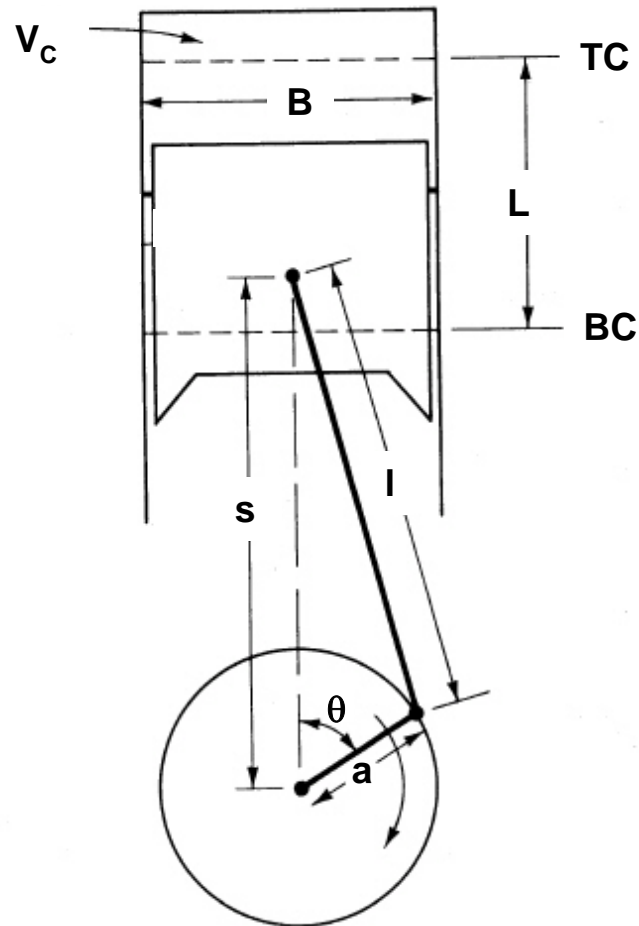
$$V = V_c + A_c y = V_c + \frac{\pi B^2}{4} (l + a - s)$$

Volume balayé ou cylindrée :

$$V_d = \frac{\pi B^2}{4} L$$

Rapport volumétrique:

$$r_c = \frac{V_{BC}}{V_{TC}} = \frac{V_c + V_d}{V_c}$$



$$s = a \cos \theta + \left( l^2 - a^2 \sin^2 \theta \right)^{1/2}$$

Vitesse moyenne et instantanée du piston:

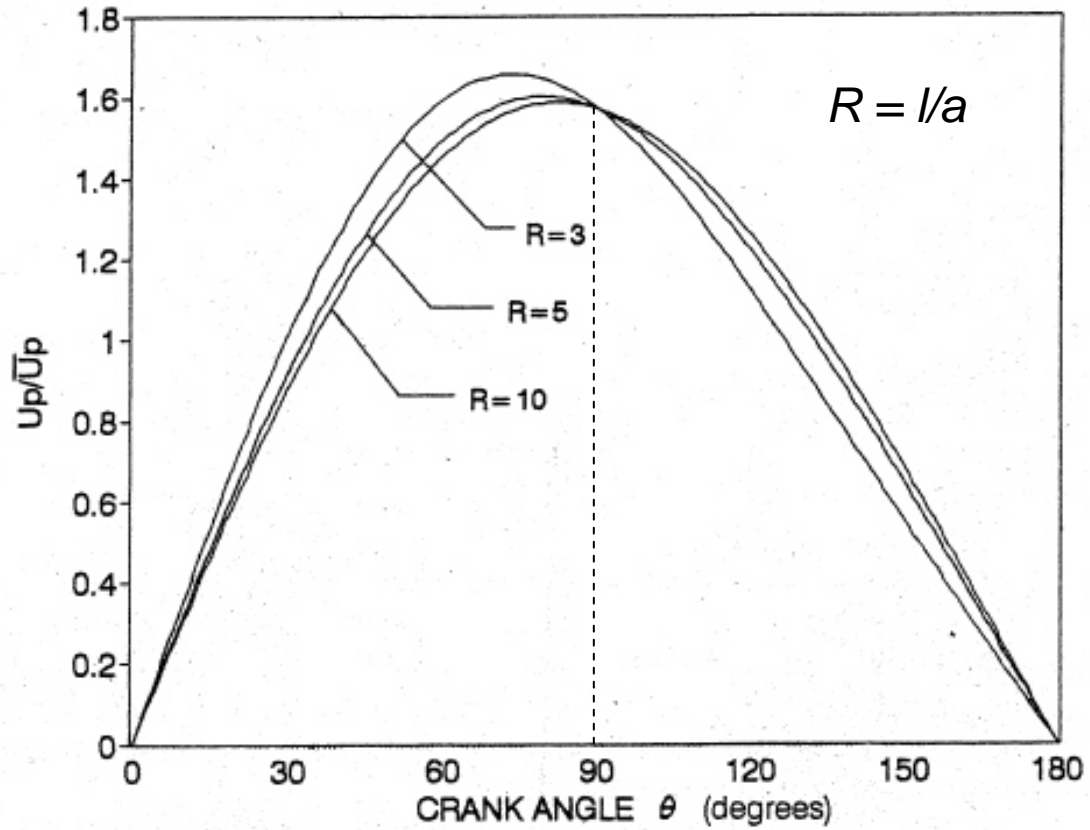
$$\bar{U}_p = 2LN$$

$$U_p = \frac{ds}{dt}$$

Avec N vitesse de rotation en tr/s

$$\frac{U_p}{\bar{U}_p} = \frac{\pi}{2} \sin \theta \left[ 1 + \frac{\cos \theta}{\left( (l/a)^2 - \sin^2 \theta \right)^{1/2}} \right]$$

## Vitesse Piston – Rapport bielle/course



## Acceleration

Elongation du Piston : 
$$s = a \cos \theta + l \left( 1 - \left( \frac{a}{l} \right)^2 \sin^2 \theta \right)^{1/2}$$

Pour la plupart des moteurs modernes  $(a/l)^2 \sim 1/9$

Approx :  $(1-\varepsilon)^{1/2} \sim 1-(\varepsilon/2)$  et comme  $\theta = \omega t$

$$s = a \cos \omega t + \left( 1 - \frac{a^2}{2l} \sin^2 \omega t \right)$$

$$\sin^2 \omega t = (1 - \cos 2\omega t) / 2$$

$$s = a \cos \omega t + \left( 1 - \frac{a^2}{4l} (1 - \cos 2\omega t) \right)$$

$$\boxed{\frac{d^2 s}{dt^2} = a \omega^2 \left( \cos \omega t + \frac{a}{l} \cos 2\omega t \right)}$$

## Forces d'Inertie Piston

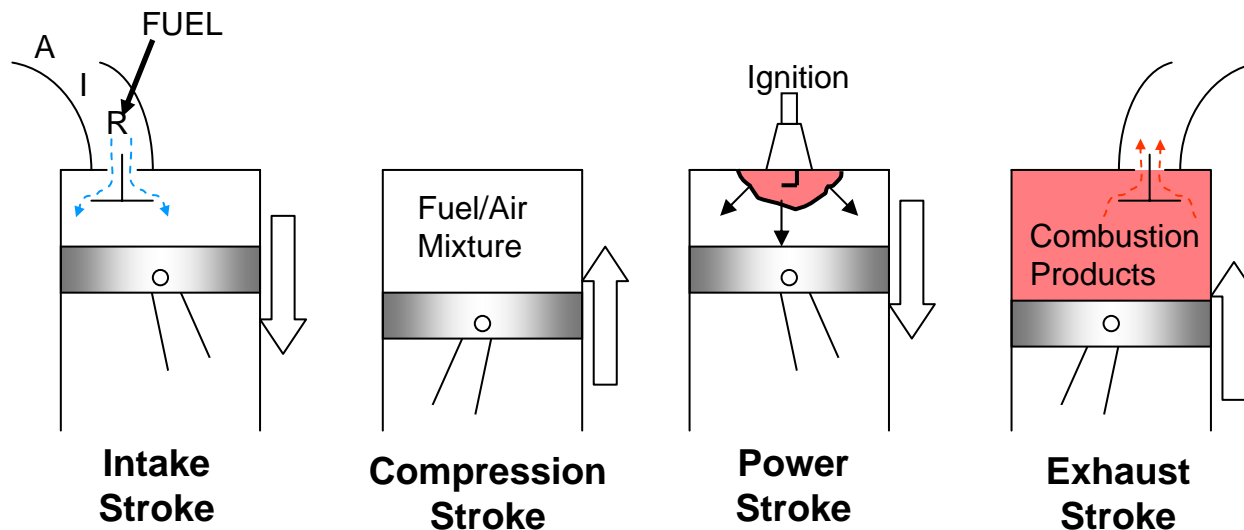
$$-m \frac{d^2 s}{dt^2} = -am\omega^2 \left( \cos \omega t + \frac{a}{l} \cos 2\omega t \right)$$

- Maximum au PMH,  $\theta = \omega t = 0 \rightarrow F = -am\omega^2$
- Pour une bielle très longue ( $a/l$ )  $\ll 1$  le deuxième terme disparaît
- Annulation des forces possible sur moteurs, 6 et 8 en-ligne et V-12 , V-16

# Principes de fonctionnement

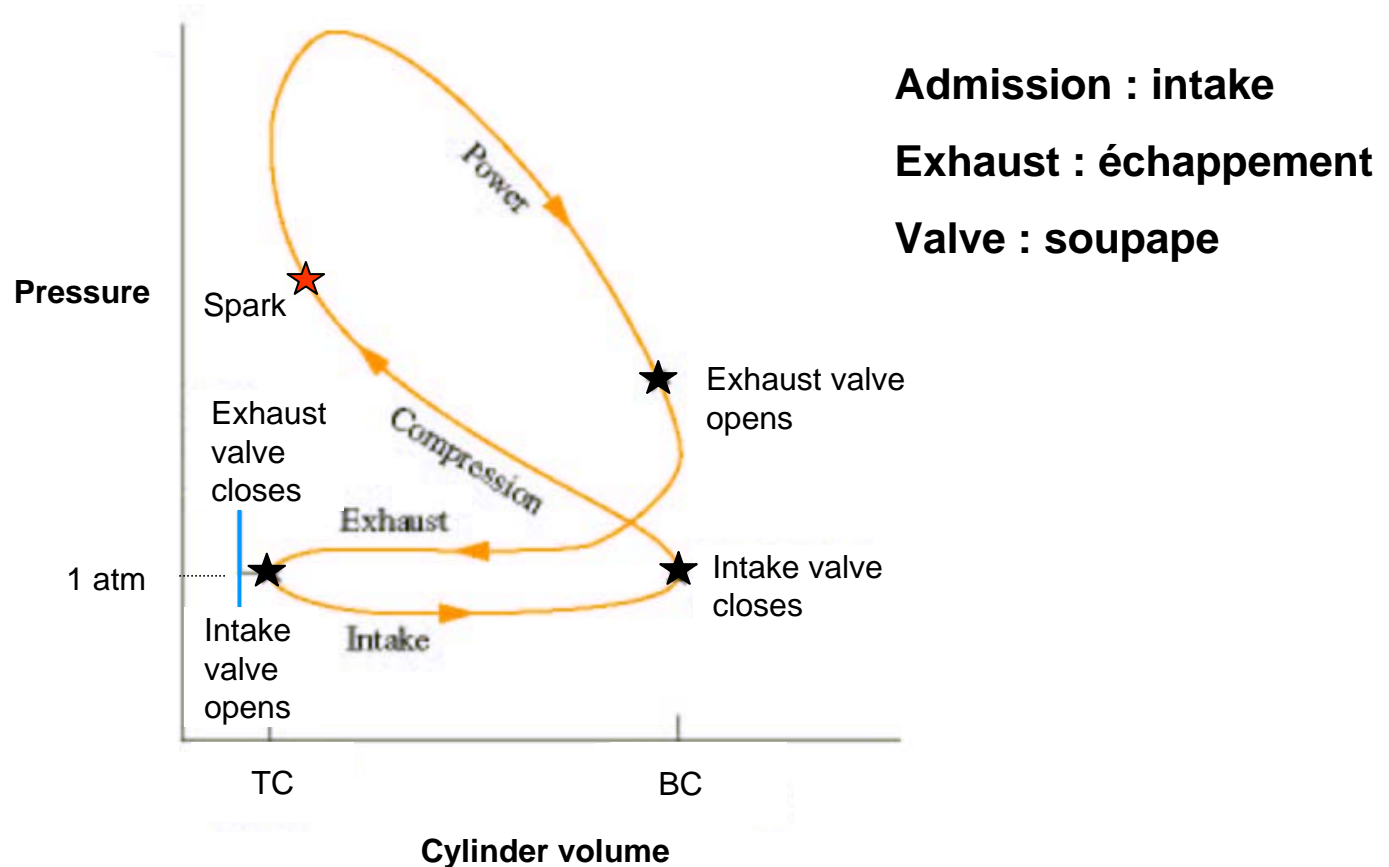
## Four stroke Spark Ignition (SI) Engine

- Stroke 1: Fuel-air mixture introduced into cylinder through intake valve
- Stroke 2: Fuel-air mixture compressed
- Stroke 3: Combustion (roughly constant volume) occurs and product gases expand doing work
- Stroke 4: Product gases pushed out of the cylinder through the exhaust valve

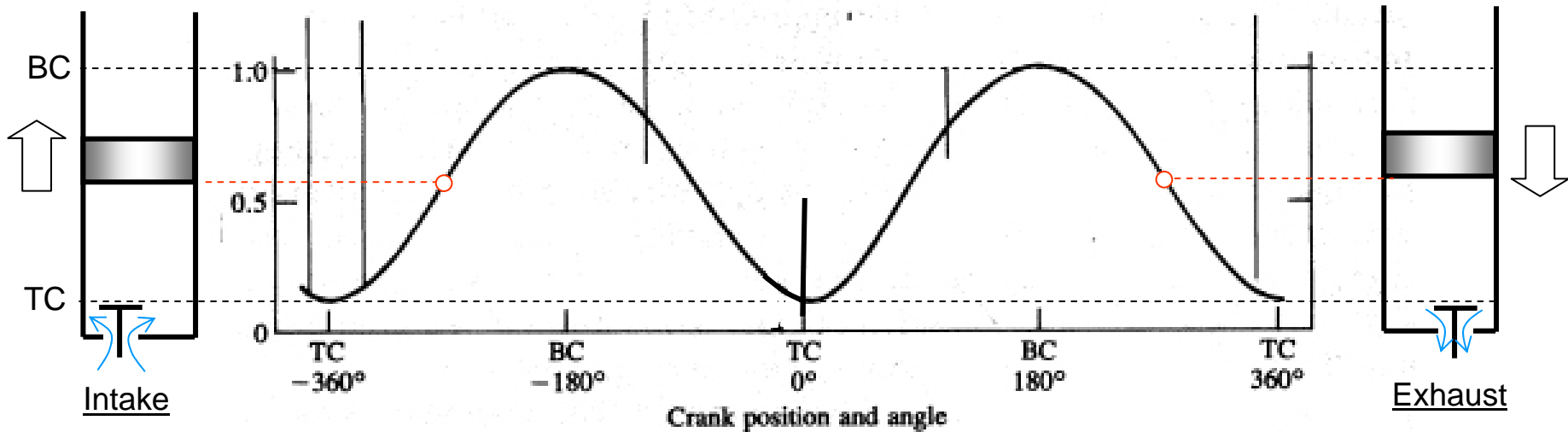
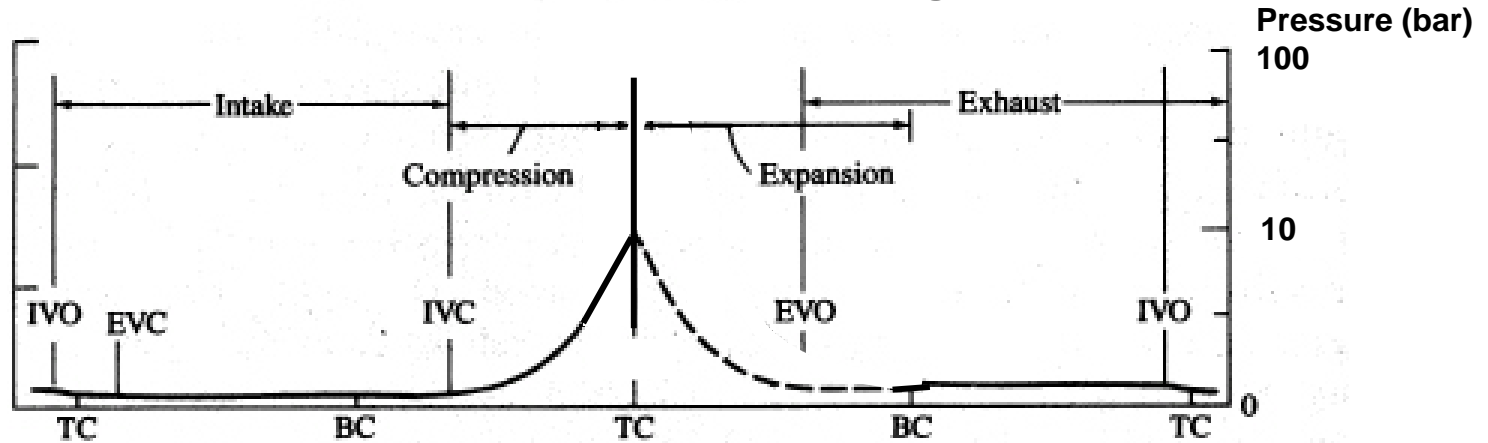


## Diagramme Pression-Volume moteur à allumage commandé 4 temps ( 4-stroke SI engine)

Un cycle moteur tous les deux tours vilebrequin



## Motored Four-Stroke Engine

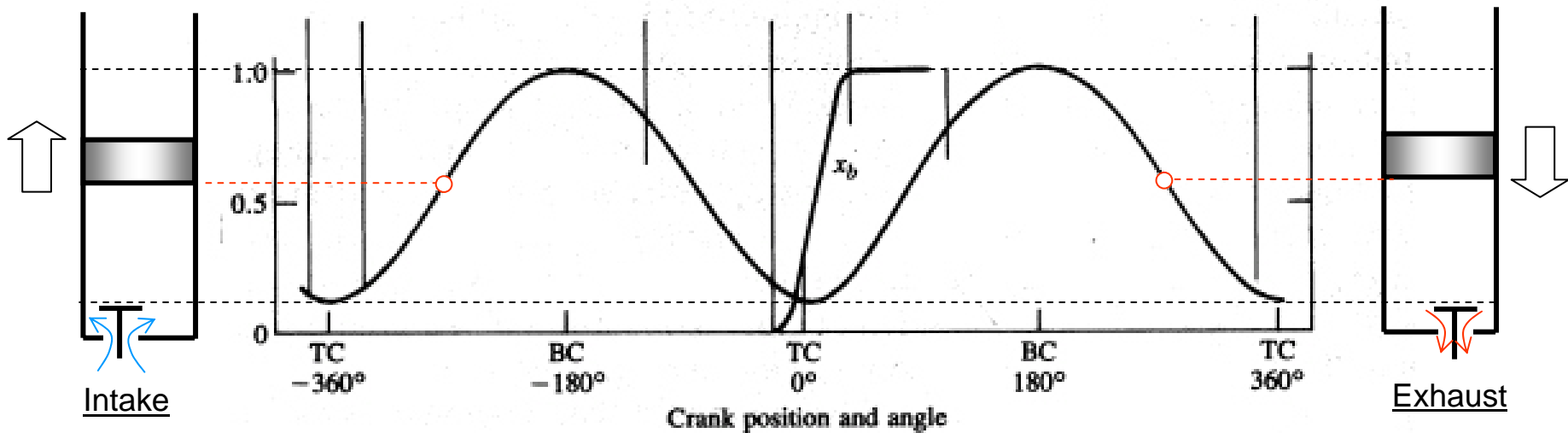
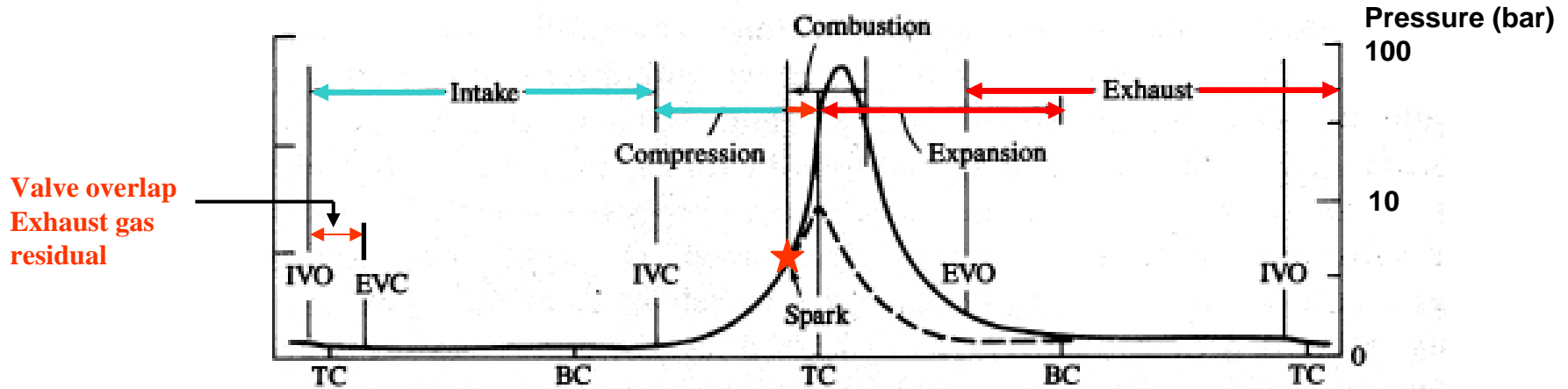


IVO - intake valve opens, IVC – intake valve closes

EVO – exhaust valve opens, EVC – exhaust valve opens

$X_b$  – burned gas mole fraction

## Four-Stroke SI Engine



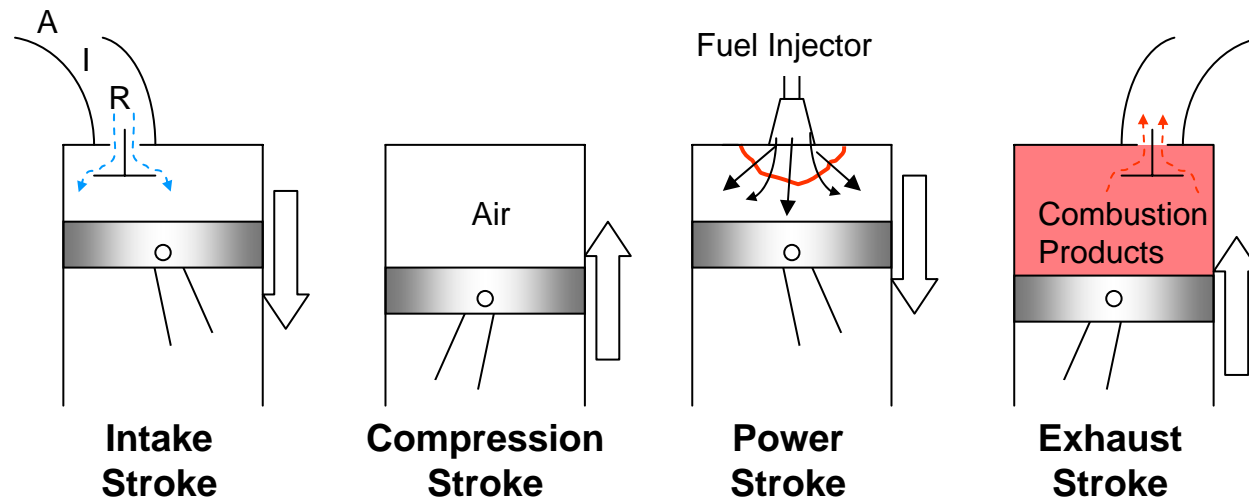
IVO - intake valve opens, IVC – intake valve closes

EVO – exhaust valve opens, EVC – exhaust valve closes

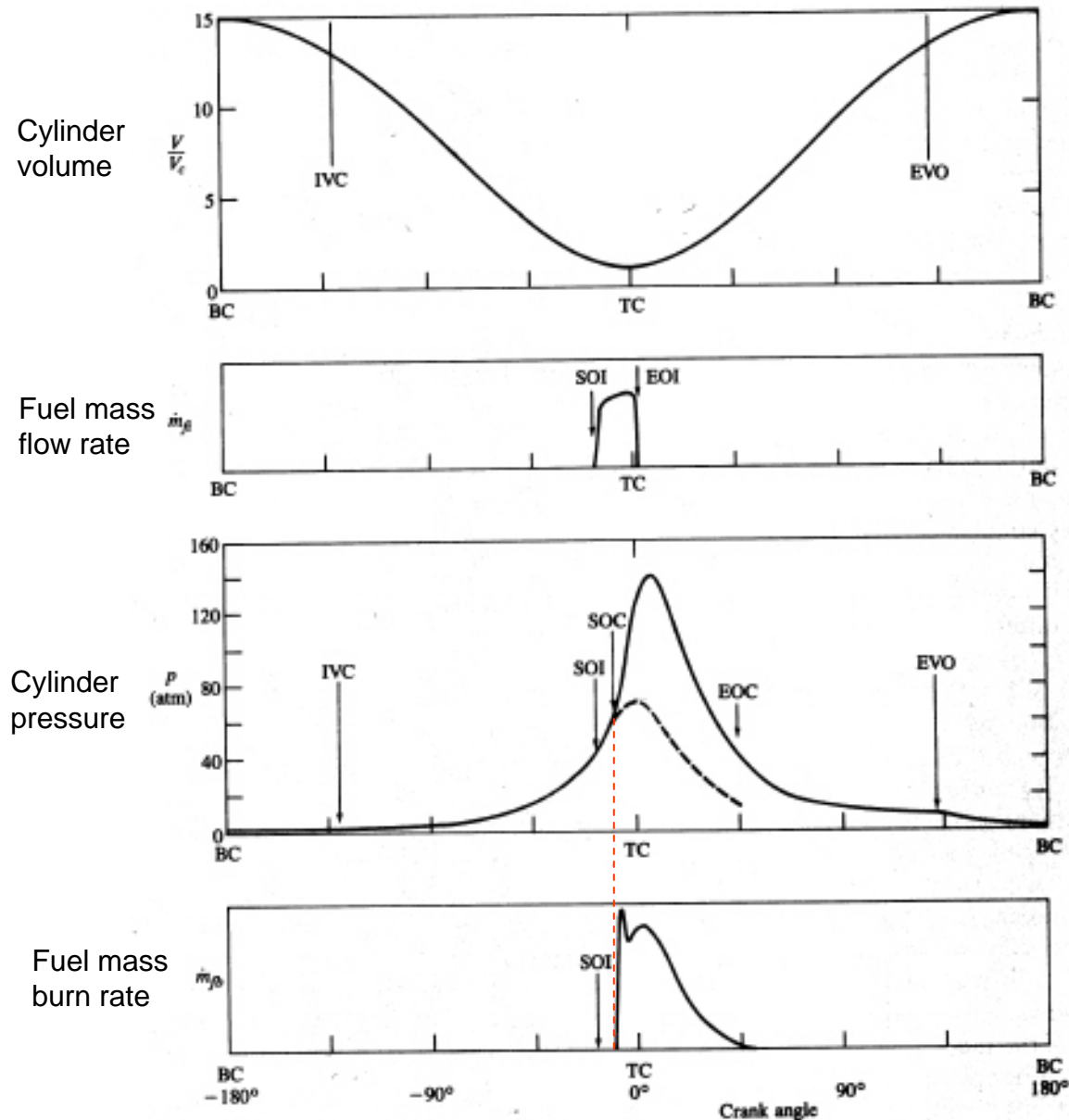
$x_b$  – burned gas mole fraction

## Four stroke Compression Ignition (CI) Engine

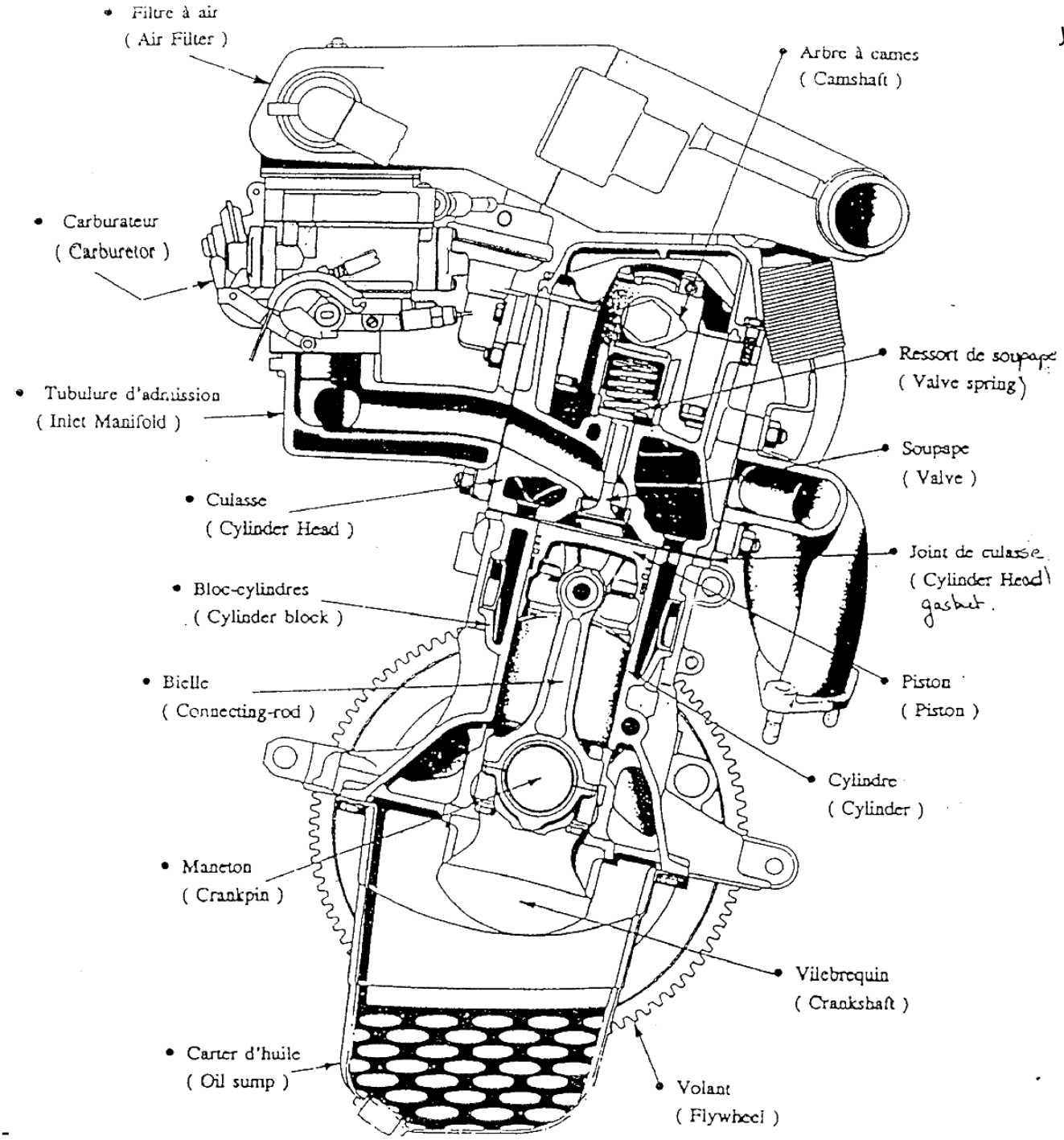
- Stroke 1: Air is introduced into cylinder through intake valve
- Stroke 2: Air is compressed
- Stroke 3: Combustion (roughly constant pressure) occurs and product gases expand doing work
- Stroke 4: Product gases pushed out of the cylinder through the exhaust valve



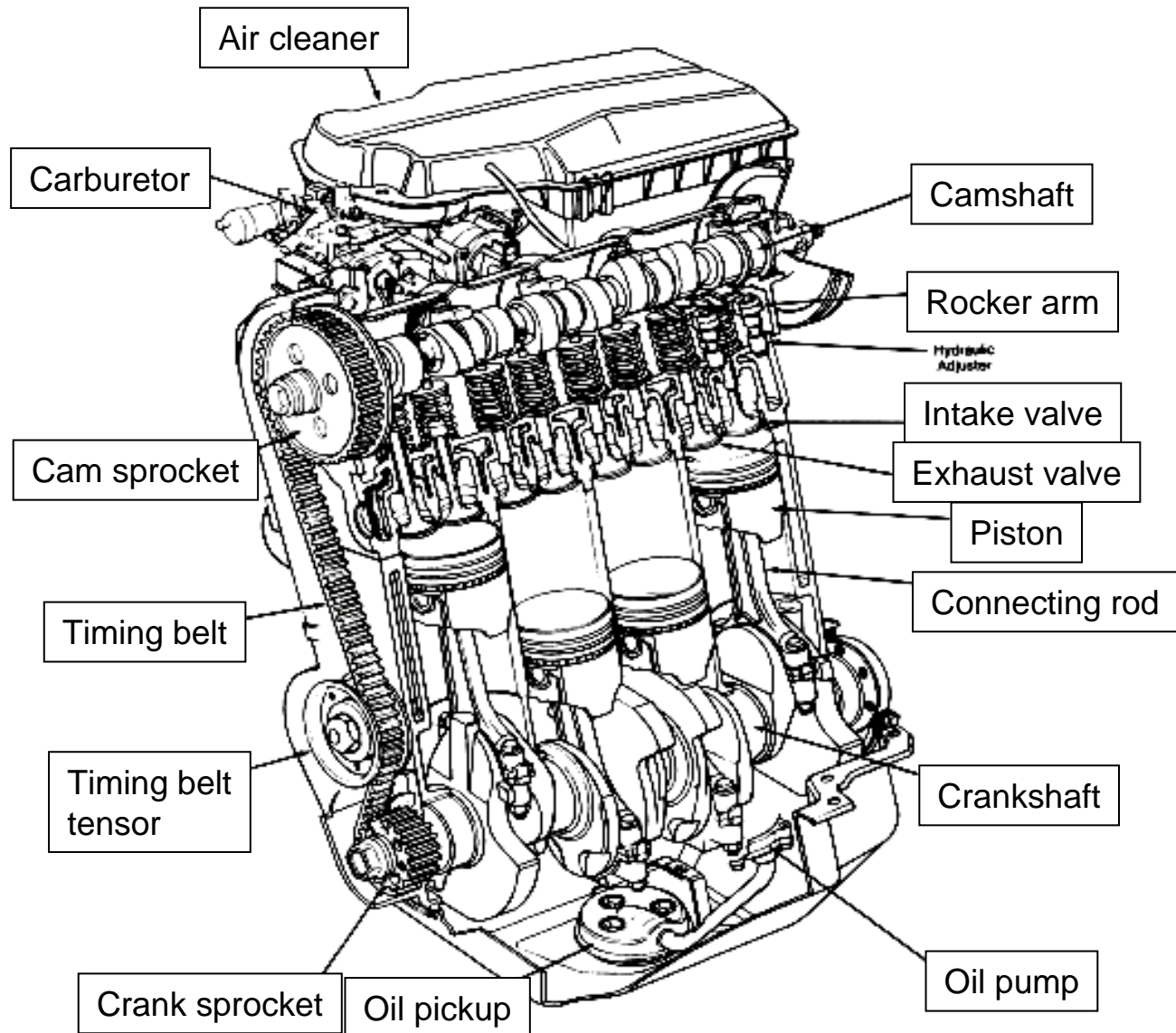
# Four-Stroke CI Engine



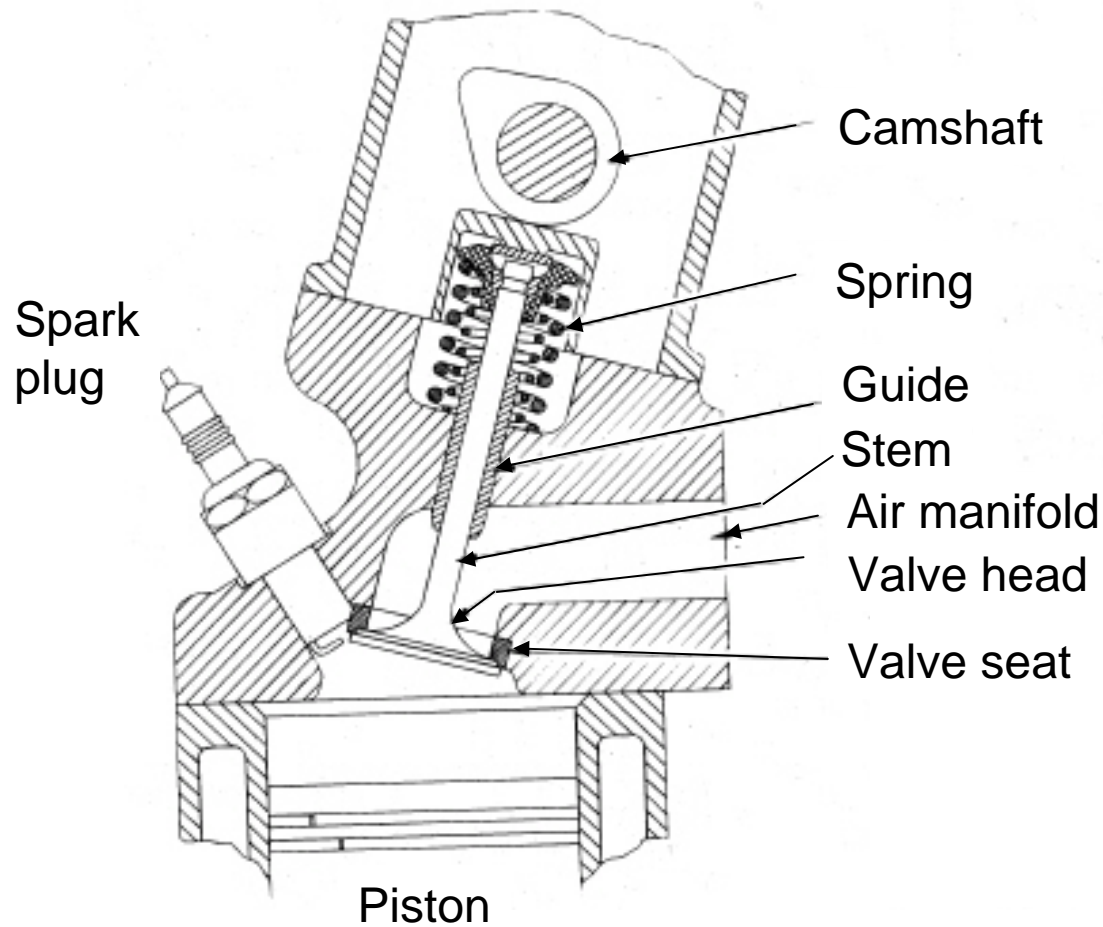
SOI – start of injection  
 EOI – end of injection  
 SOC – start of combustion  
 EOC – end of combustion



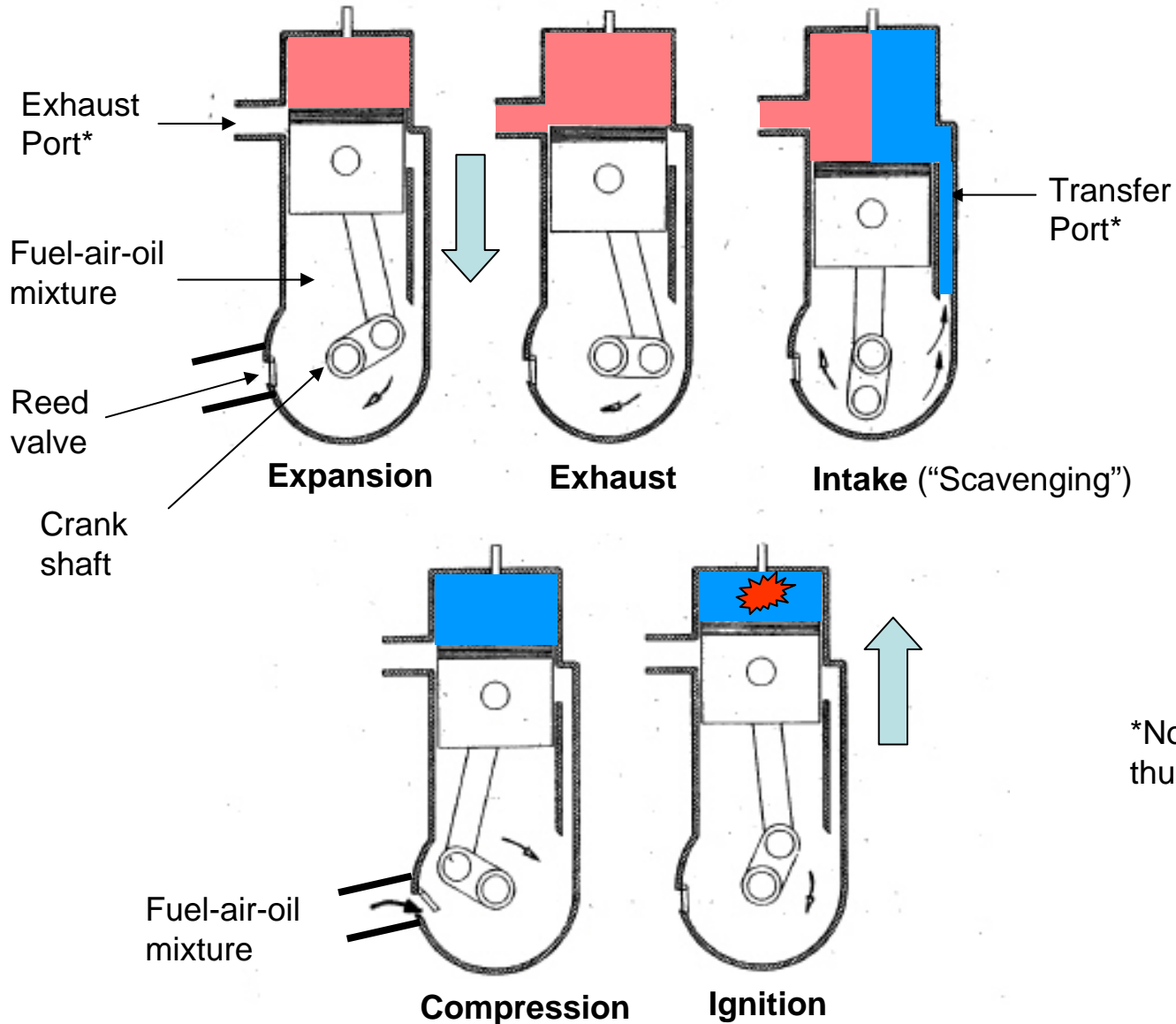
# Engine Anatomy



## Poppet Valve Actuation with Overhead Camshaft / Commande de soupape avec arbre à came en tête

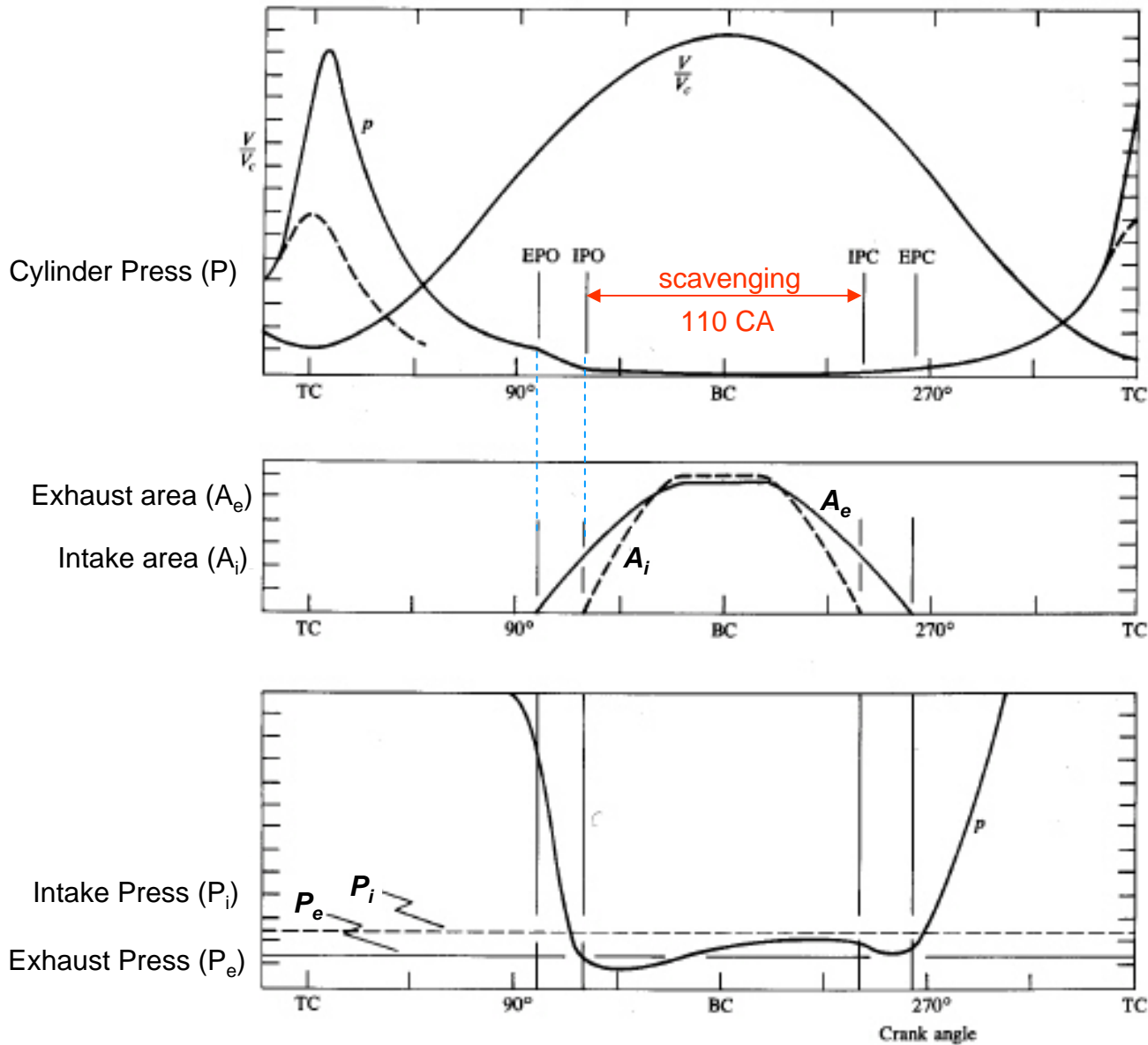


# Two Stroke Spark Ignition Engine/ Moteur à allumage commandé 2 temps



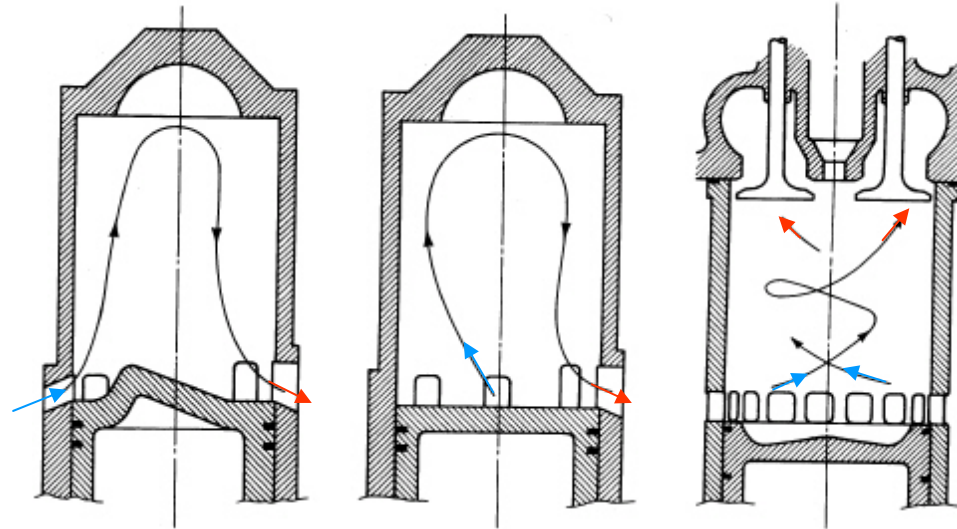
\*No valves and thus no camshaft

## Two-Stroke CI Engine



EPO – exhaust port open  
 EPC – exhaust port closed  
 IPO – intake port open  
 IPC – intake port closed

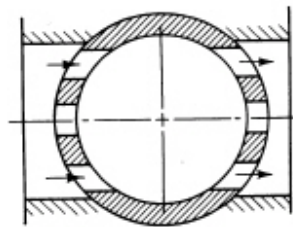
# Scavenging in Two-Stroke Engine/ Balayage dans les moteurs 2 temps



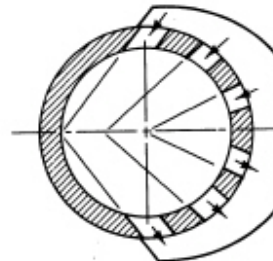
**Cross**

**Loop**

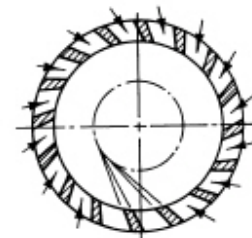
**Uniflow**



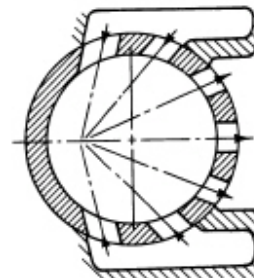
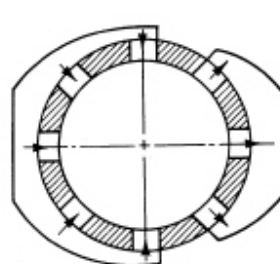
(a)



(b)



(c)



## **Avantages du moteur 2 temps:**

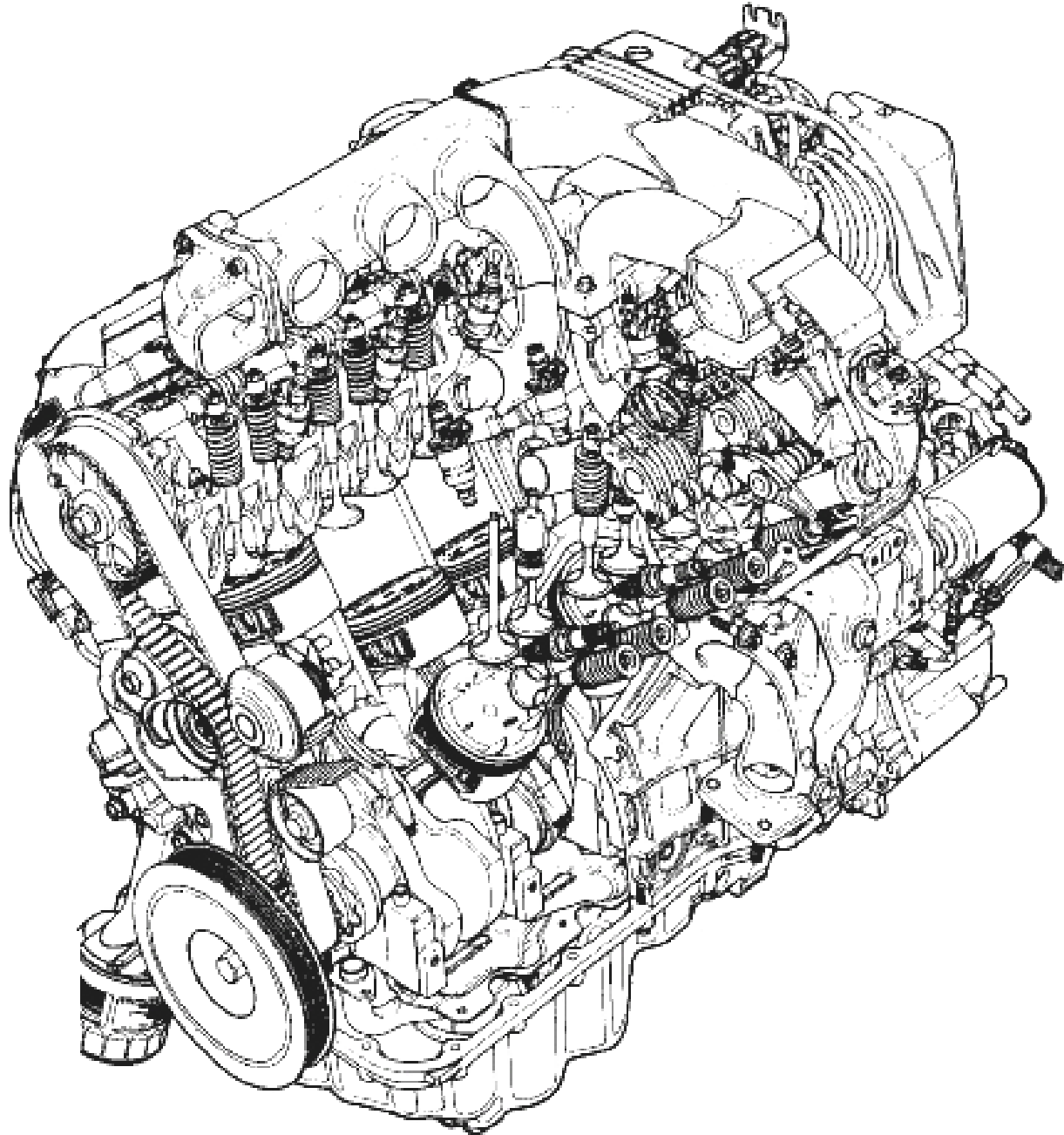
- Le rapport poids/puissance est plus avantageux qu'en 4 temps car chaque tour délivre de la puissance.
- Pas de soupapes, arbre à cames...

Moteurs bas prix, petits moteurs

## **Désavantages:**

- Balayage incomplet (remplissage) ou excessif (pertes)
- Mélange huile/ combustible

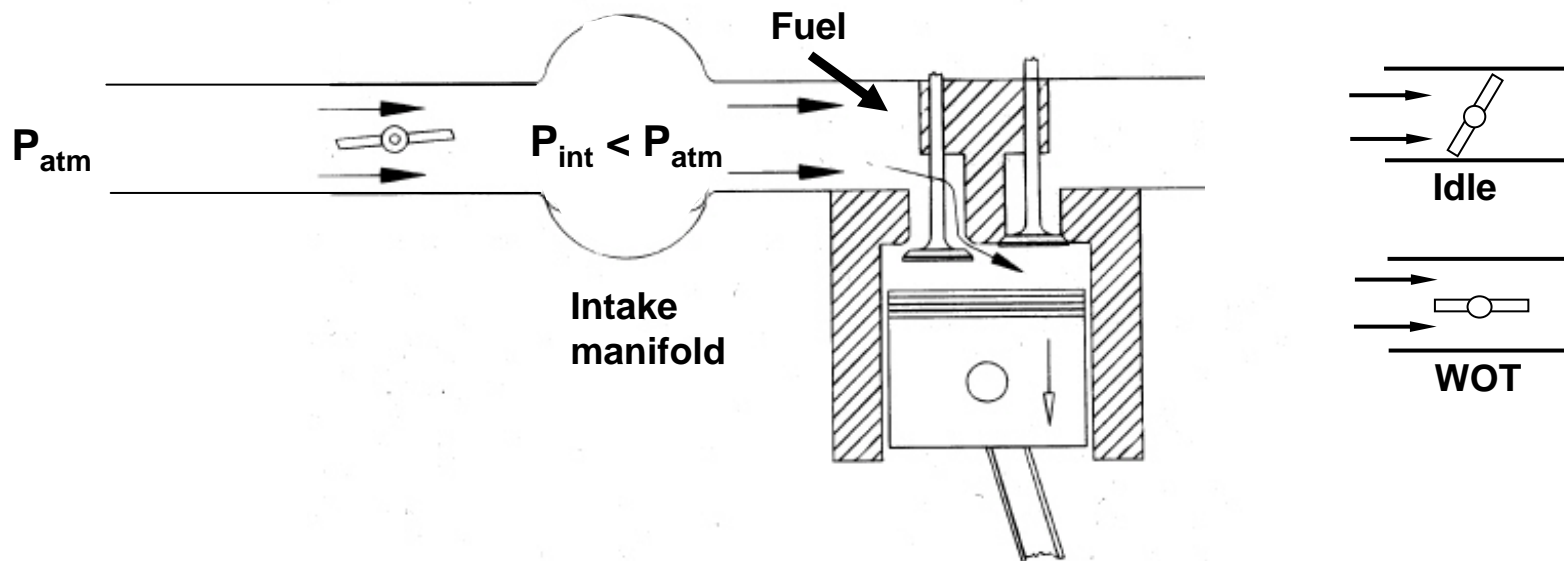
# V-6



# Régulation de puissance

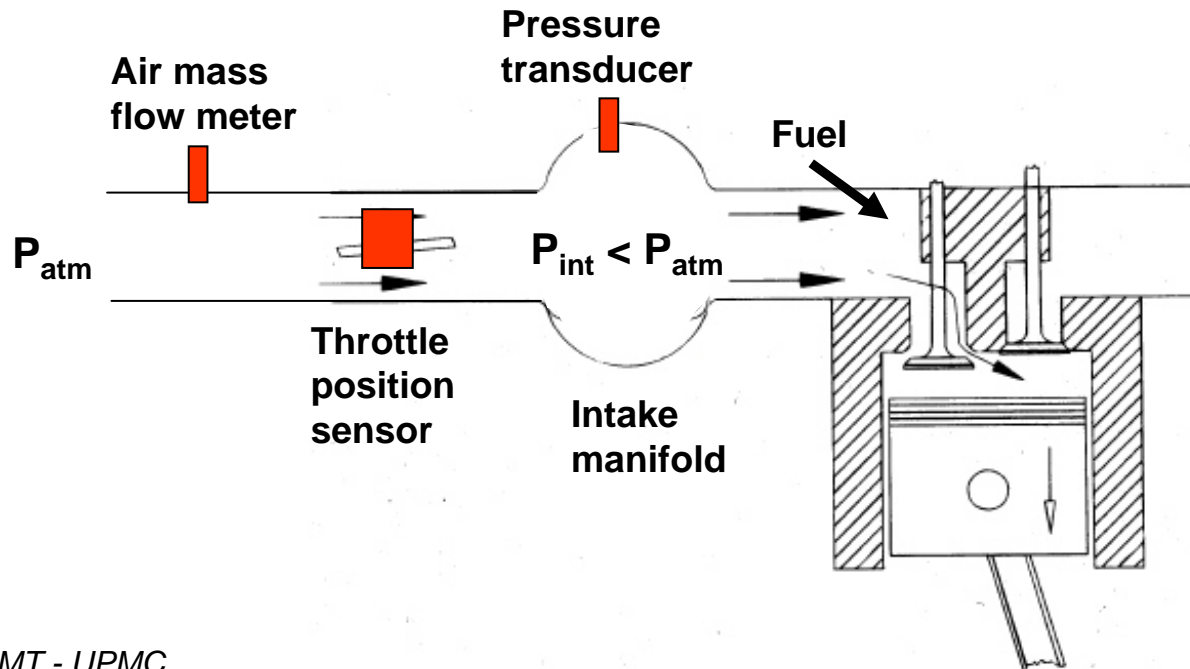
## Régulation de puissance

- La combustion a lieu dans les zones de mélange stoechiométrique : rapport masse d'air sur masse de combustible  $\sim 15$ .
- La puissance dépend de la masse de combustible :
  - En mélange homogène (richesse constante) il faut maintenir la proportion air/combustible -> Faire varier le débit d'air :
  - Papillon des gaz : Maximum de pression admission (et de puissance) obtenu papillon ouvert (wide-open-throttle WOT), minimum au ralenti (idle)

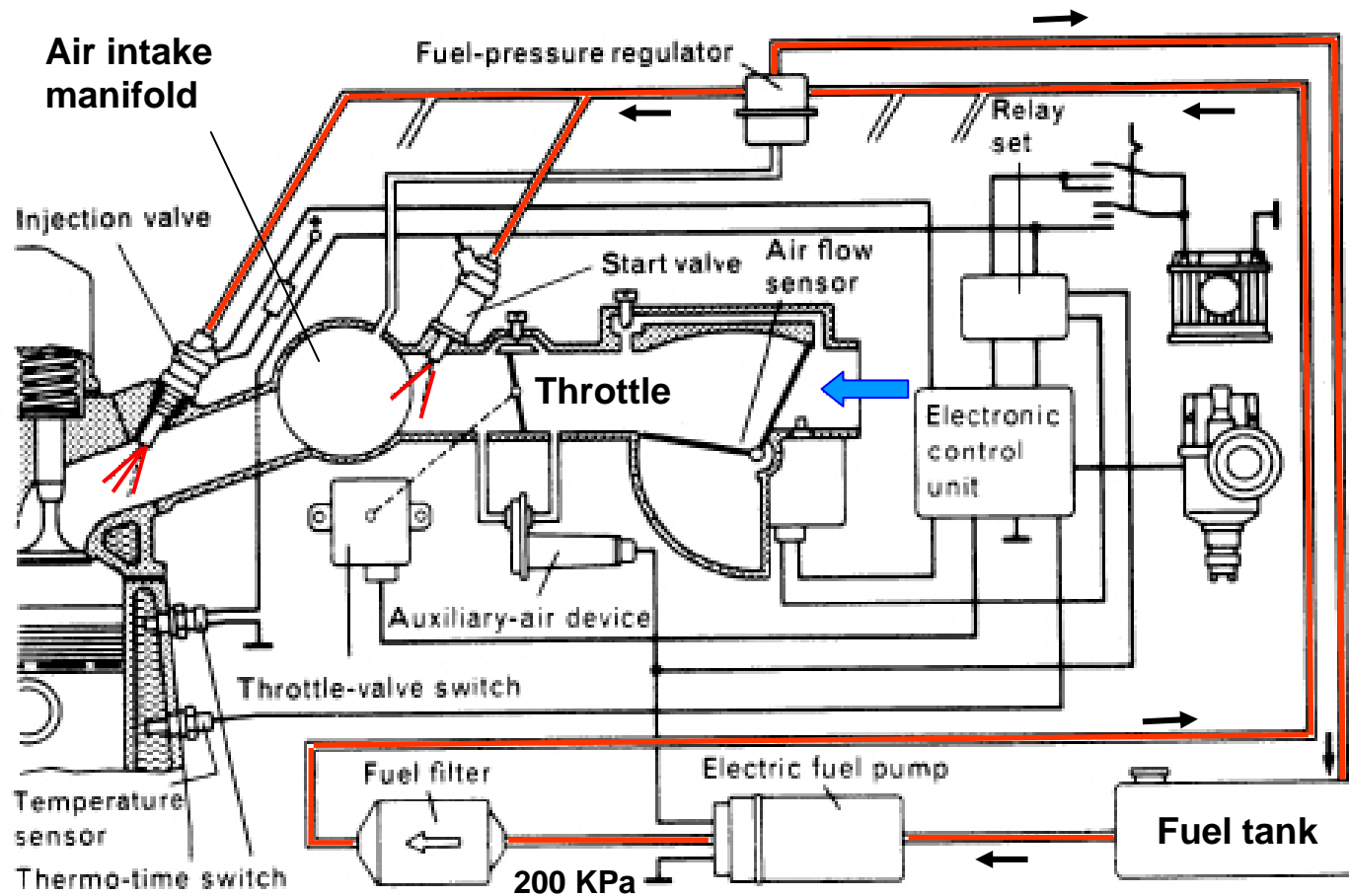


## Estimation de la masse d'air

- 1) Pression collecteur / Manifold pressure
- 2) Débitmètre air / Air mass flow rate
- 3) Position papillon / Throttle position



## Fuel Injection System

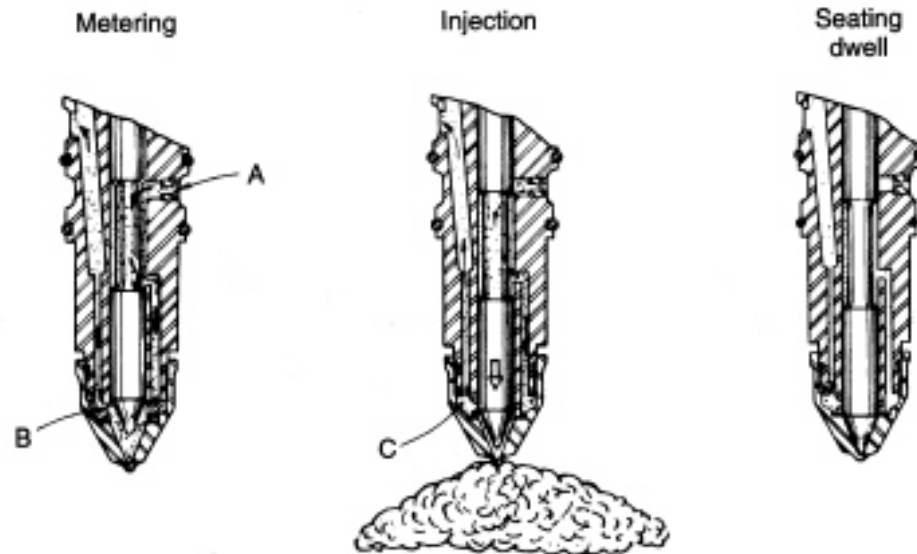
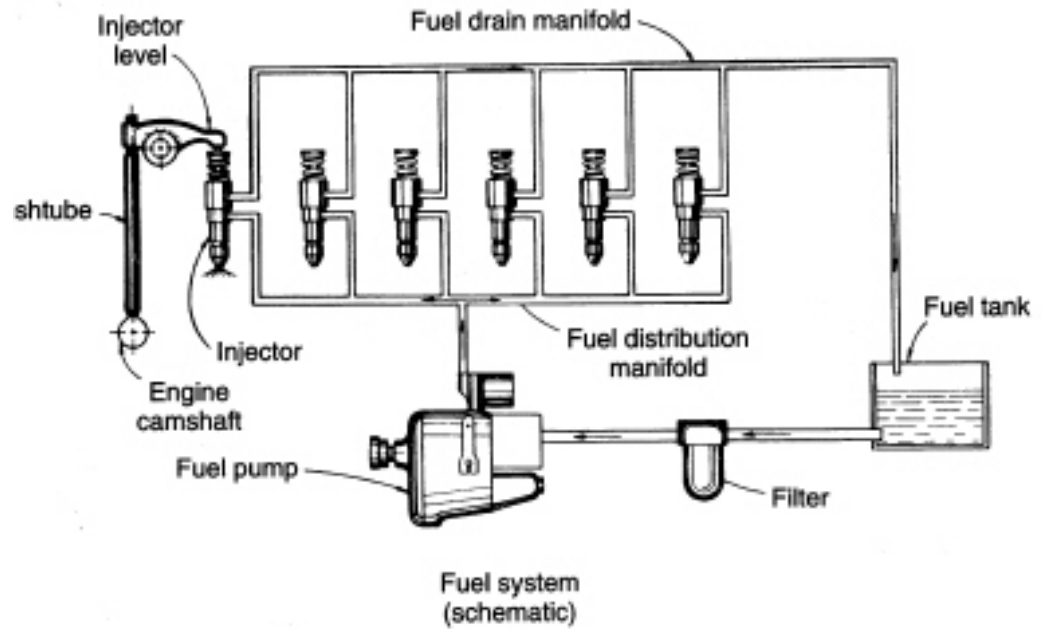


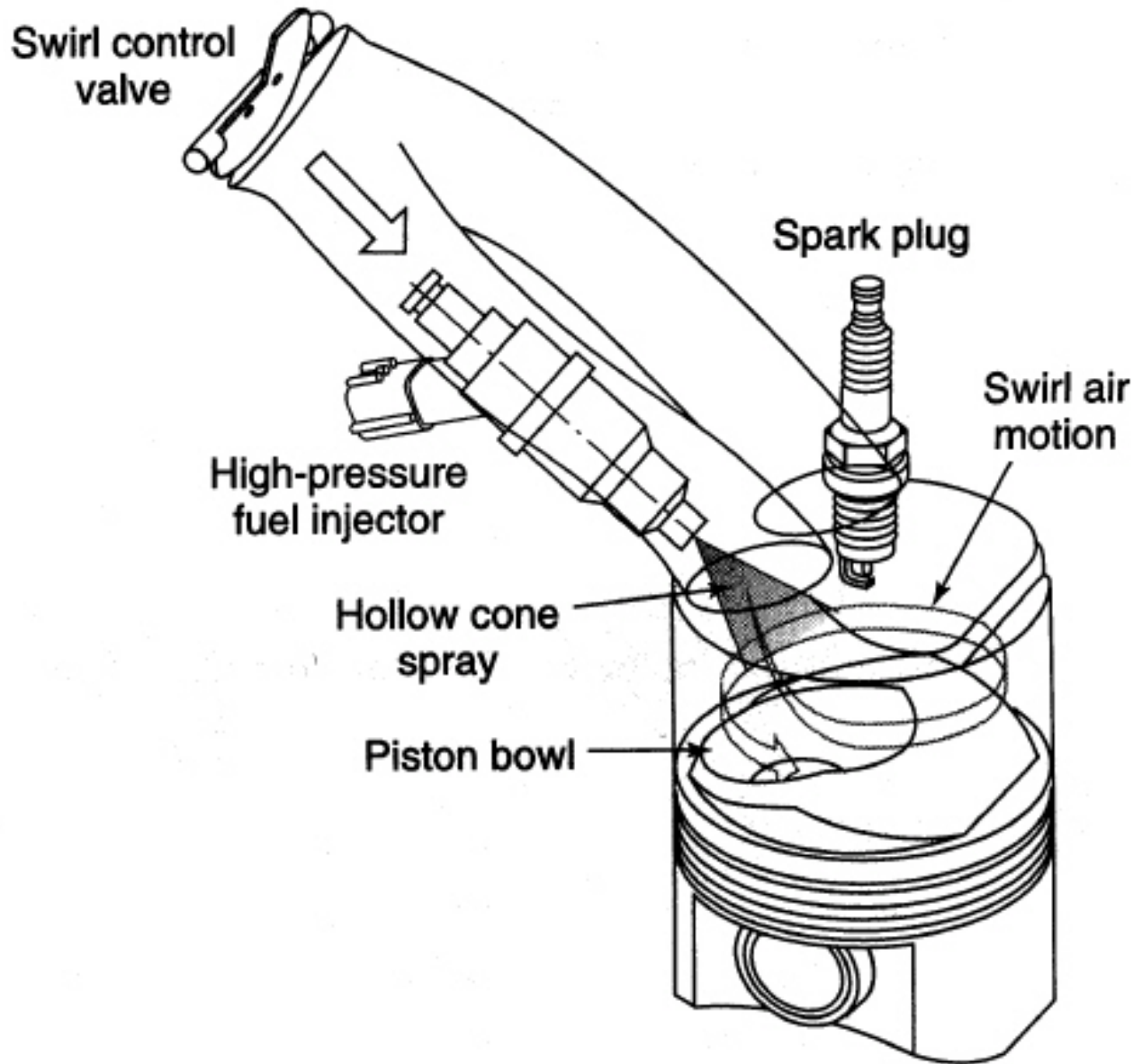
During start-up the components are cold so fuel evaporation is very slow, as a result additional fuel is added through a second injecting valve

## Régulation de puissance en mélange stratifié

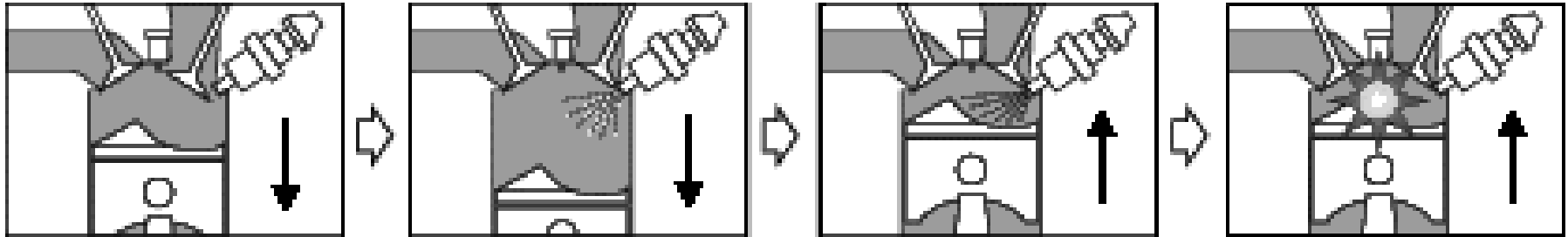
La quantité de combustible est changée indépendamment de la masse d'air : richesse variable

Moteurs Diesel  
Moteurs GDI

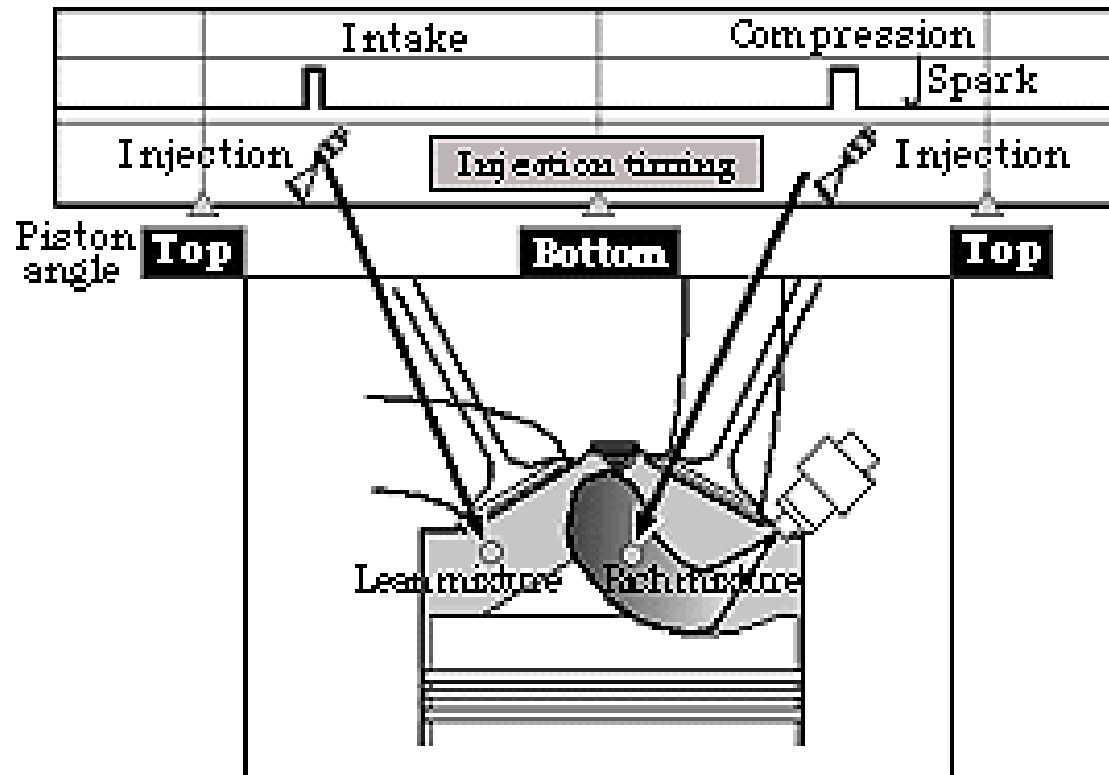




## Mitsubishi Two-Stage Ignition GDI Engine



### Two-Stage Mixing injection timing



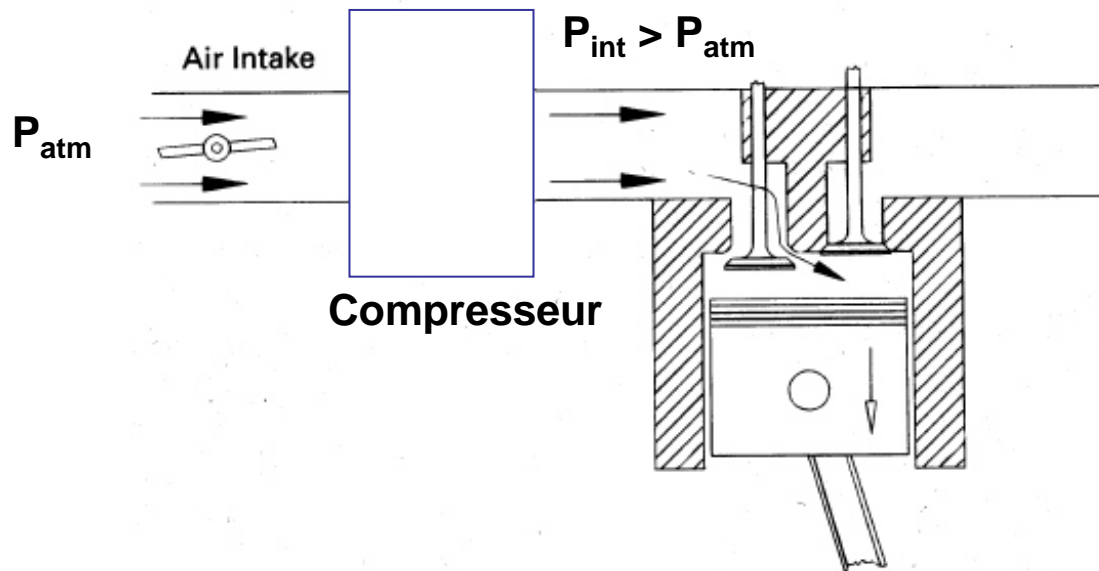
## **Autre Types d'allumage**

- **Homogeneous Charge Compression Ignition (HCCI)**
- **Controlled Auto-Ignition (CAI)**
- **Dual - Fuel**

## Suralimentation

Augmenter la puissance d'un moteur en augmentant la masse d'air admise (et donc la masse de combustible pouvant être brûlée), avec un compresseur à l'admission

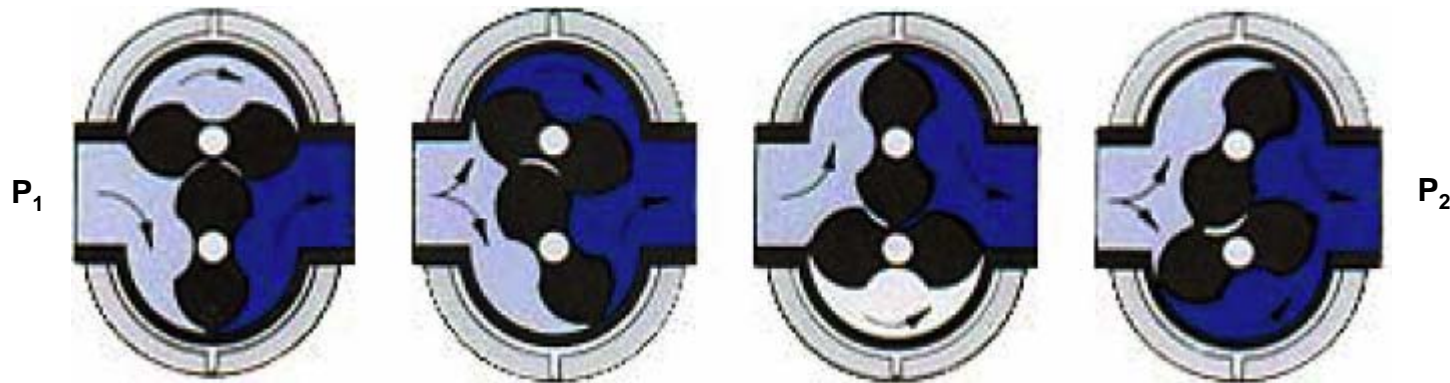
Pb. de Cliquetis (Knock) en essence



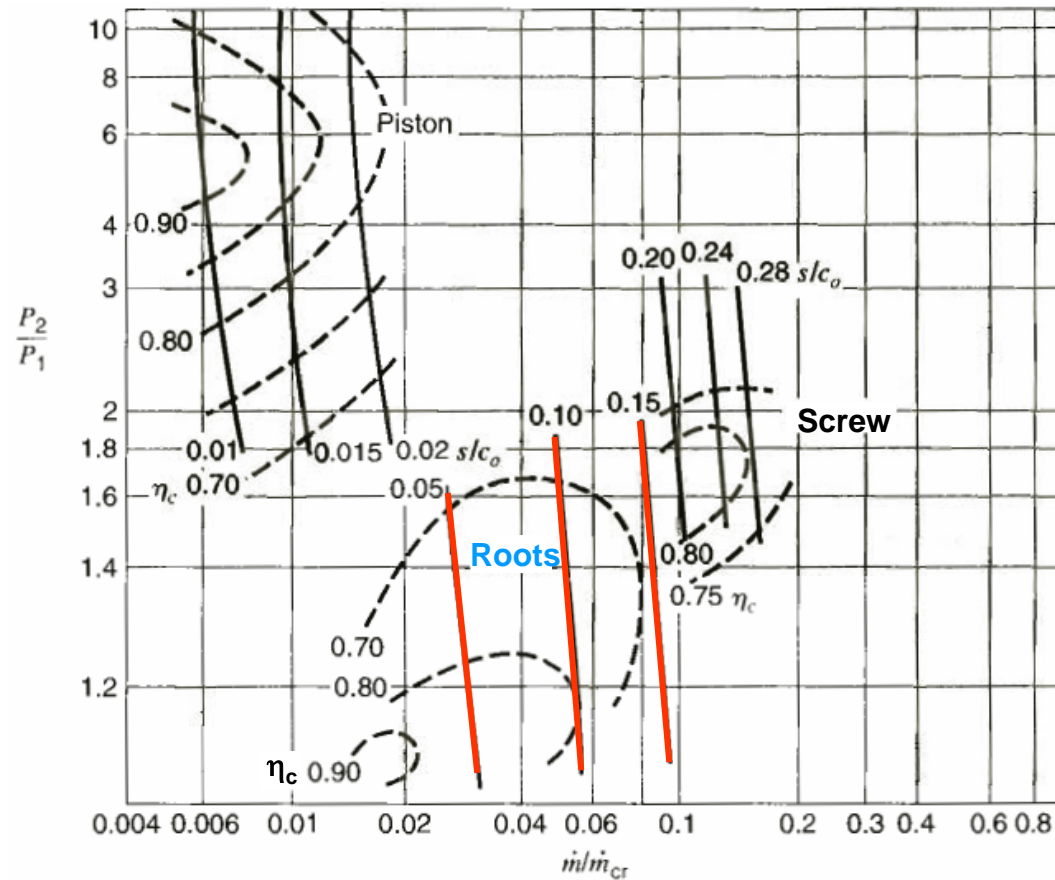
## Positive Displacement Compressors/ Compresseurs Volumétriques

piston, Roots, screw (à vis)

Roots :



# Performance of Positive Displacement Compressors



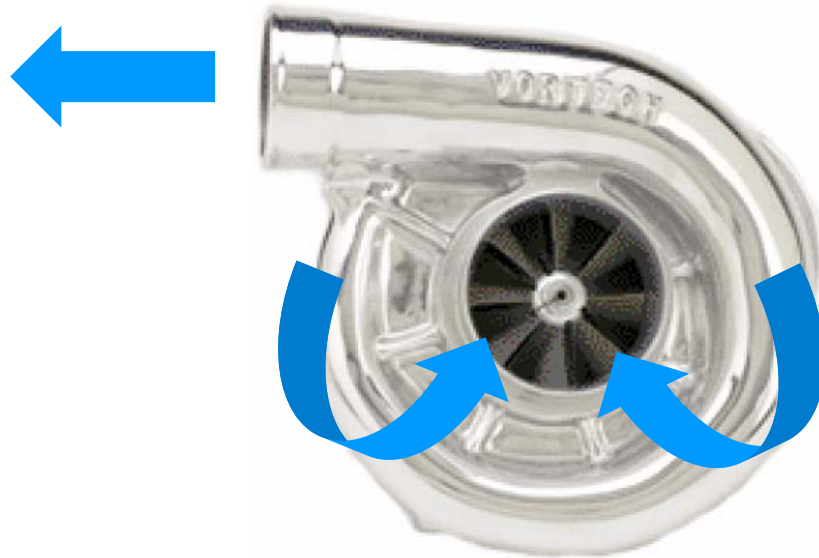
$s/c_o$  = rotor tip Mach#  
~ pump speed

$\eta_c$  = rendement isentropique compresseur

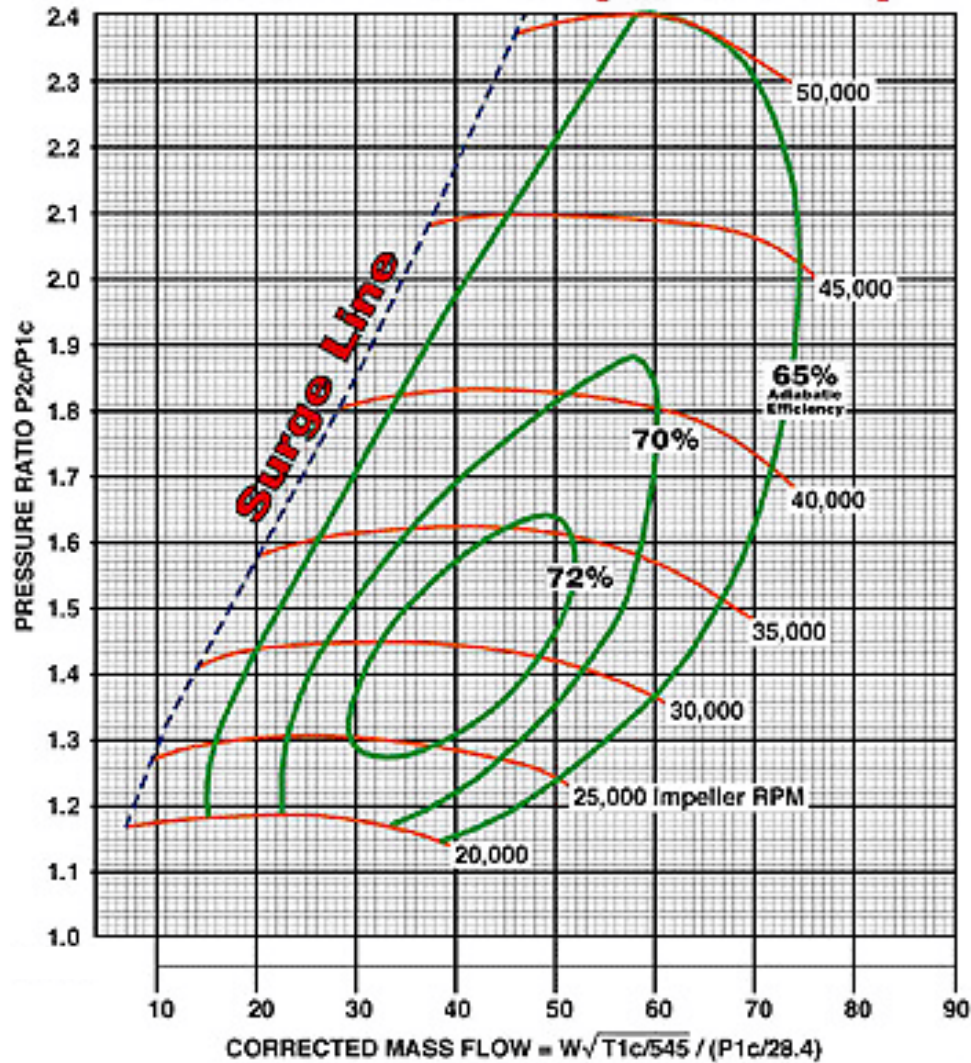
Les pertes représentent la chaleur cédée à l'air (baisse de densité)

## Dynamic Compressors/ Compresseurs rotatifs

Compresseur centrifuge :



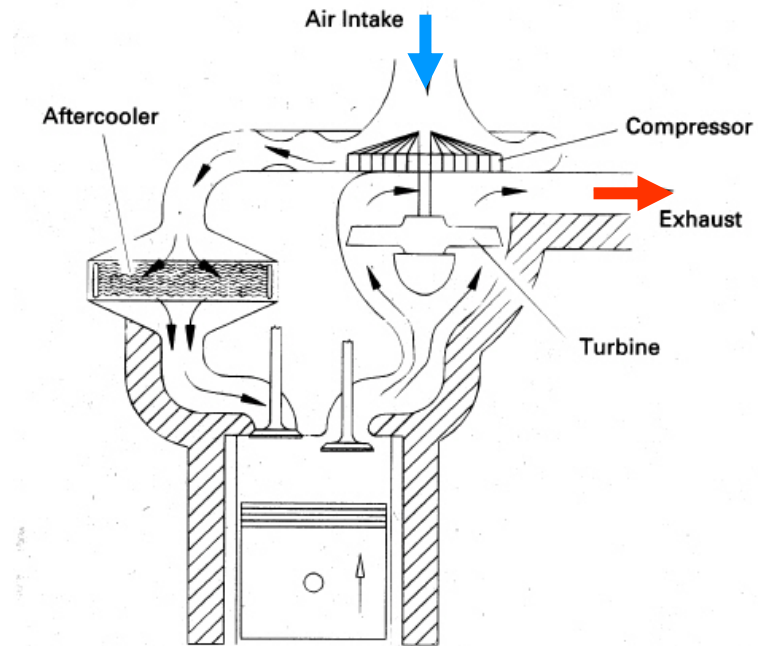
## Vortech S-trim Compressor Map



Surge line : limite de pompage

Débit d'air

# Turbocompresseurs

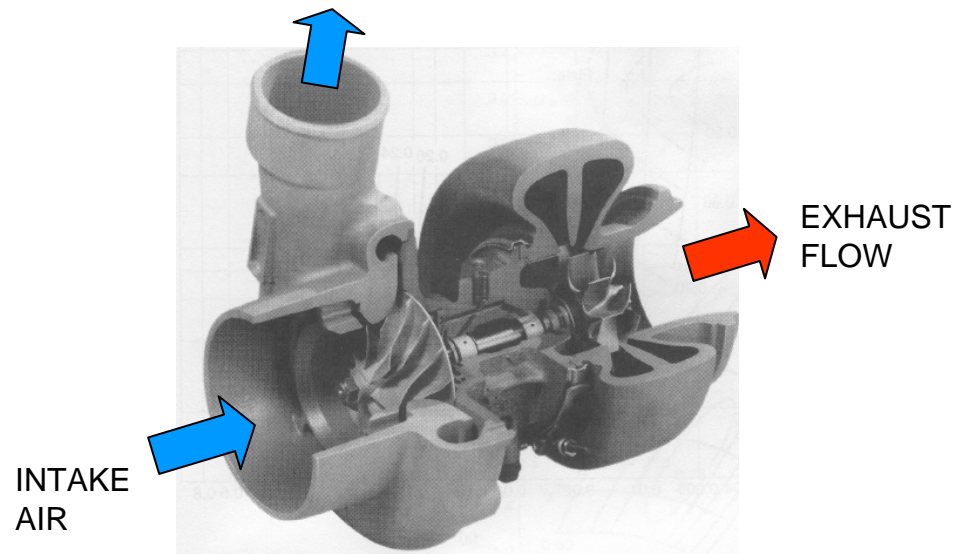


## Petit $\Delta P$ turbine

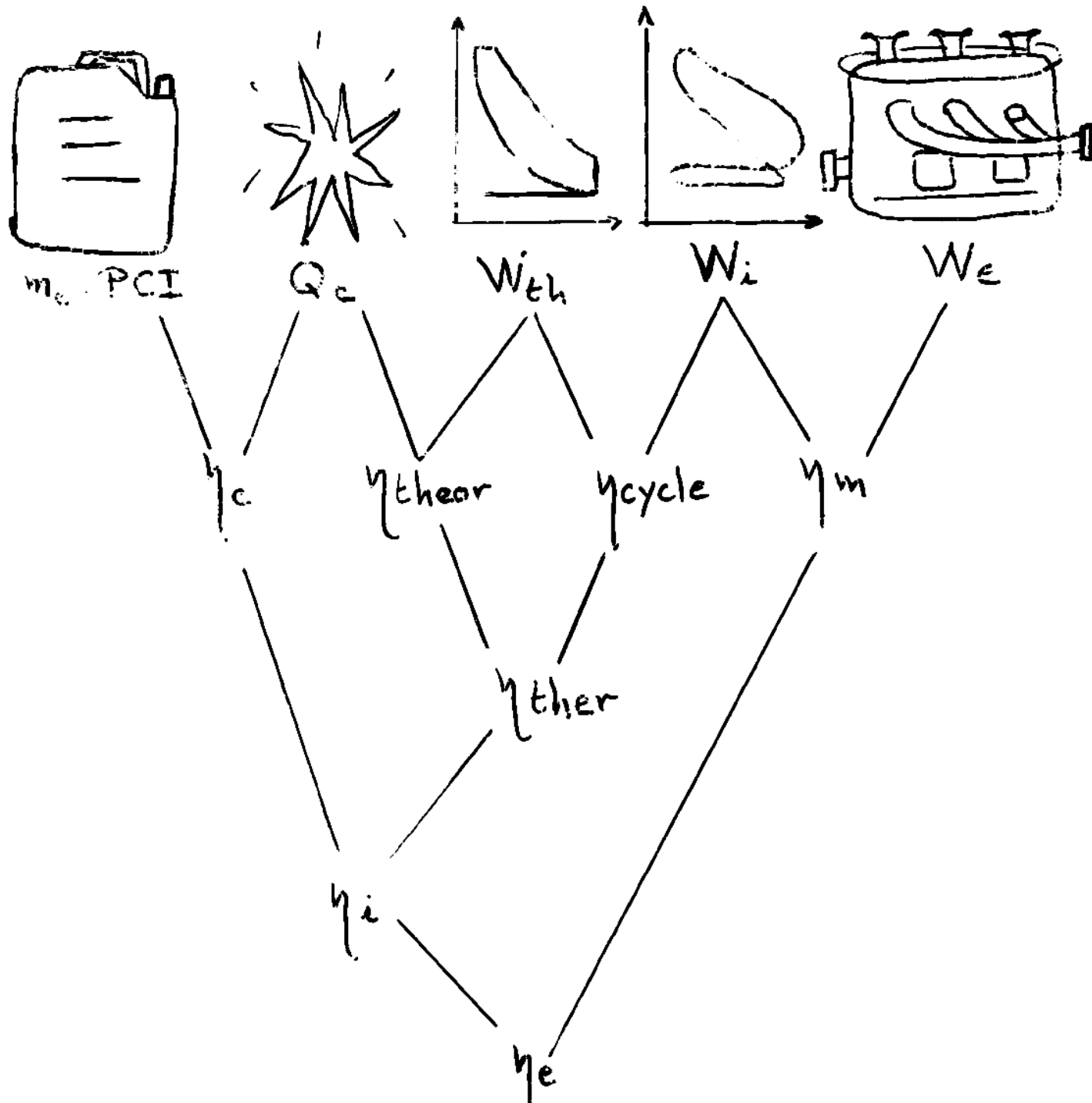
Vitesse rotation élevée (100k-200k tr/min) – endurance

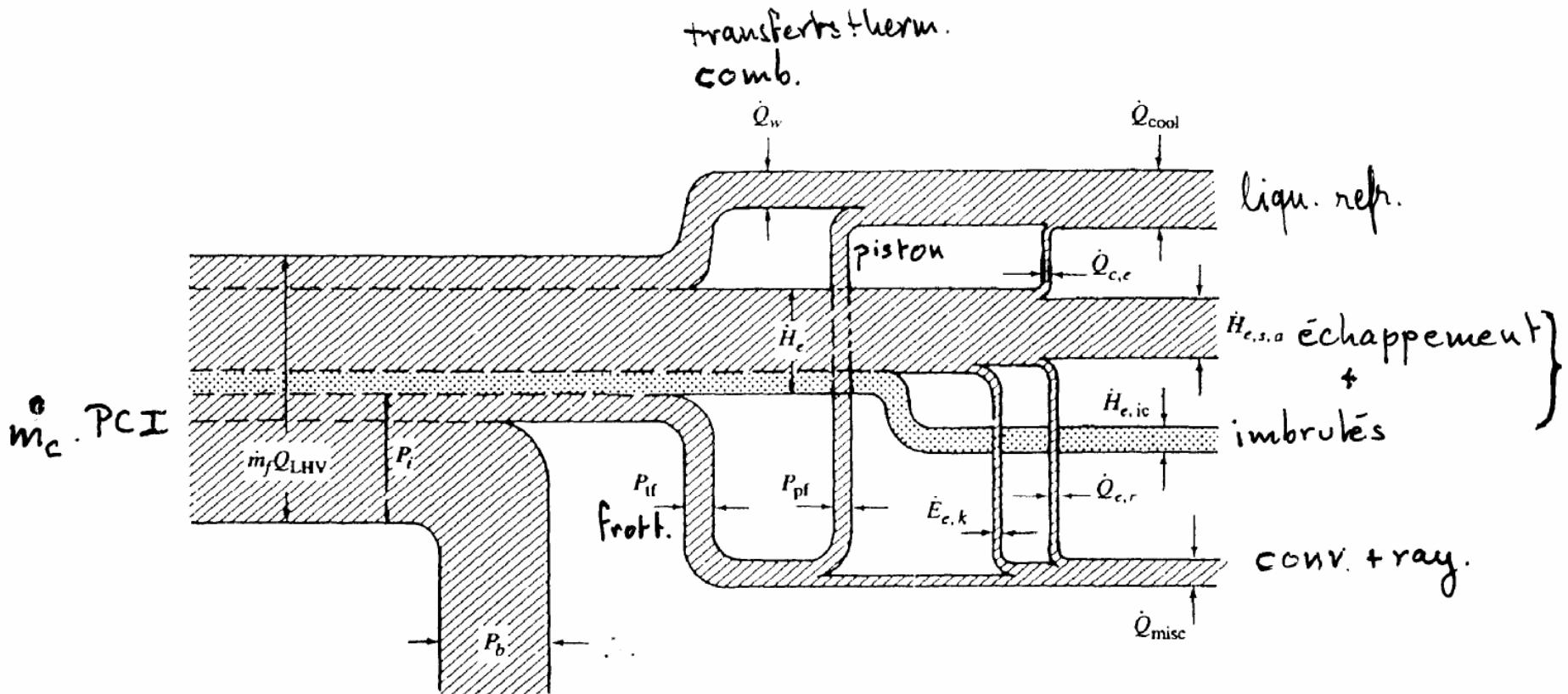
Inertie turbine - **Turbo lag**

Waste gate/blades (aubes fixes) / nozzle nécessaires pour contrôler le débit turbine



# Rendements et facteurs de performance

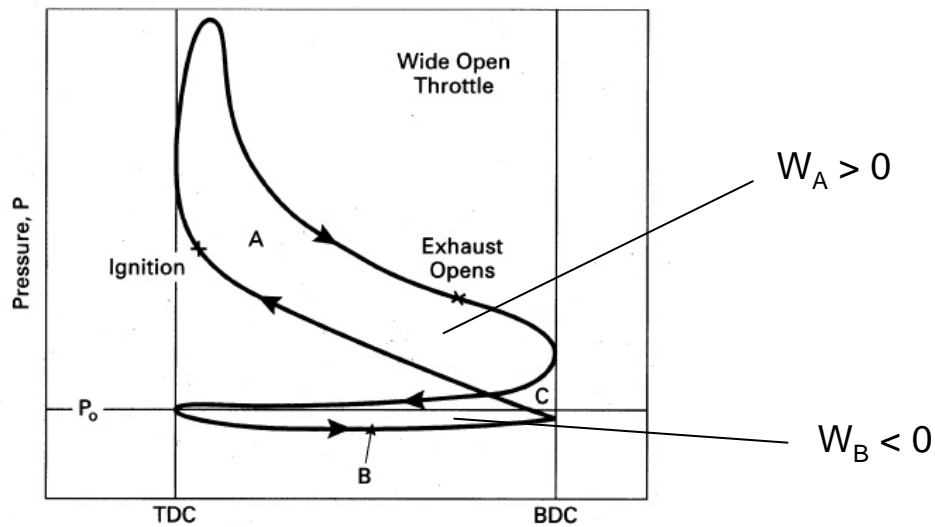
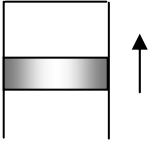




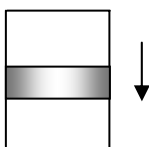
Energy flow diagram for IC engine.  $(\dot{m}_f Q_{LHV})$  = fuel flow rate  $\times$  lower heating value,  $\dot{Q}_w$  = heat-transfer rate to combustion chamber wall,  $\dot{H}_e$  = exhaust gas enthalpy flux,  $P_b$  = brake power,  $P_{fr}$  = total friction power,  $P_i$  = indicated power,  $P_{pf}$  = piston friction power,  $\dot{Q}_{cool}$  = heat-rejection rate to coolant,  $\dot{Q}_{c,e}$  = heat-transfer rate to coolant in exhaust ports,  $\dot{H}_{e,s,a}$  = exhaust sensible enthalpy flux entering atmosphere,  $\dot{H}_{e,ic}$  = exhaust chemical enthalpy flux due to incomplete combustion,  $\dot{Q}_{c,r}$  = heat flux radiated from exhaust system,  $\dot{E}_{e,k}$  = exhaust kinetic energy flux,  $\dot{Q}_{misc}$  = sum of remaining energy fluxes and transfers.

# Travail Indiqué

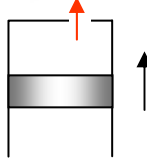
$$W_i = \oint P dV$$

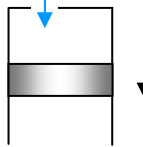
Compression  
 $W < 0$



Power  
 $W > 0$



Exhaust  
 $W < 0$



Intake  
 $W > 0$

**Gross indicated work (Boucle HP) :**

$$W_{i,g} = \text{aire } A + \text{aire } C (>0)$$

**Pump work (Boucle BP – pompage) :**

$$W_p = \text{aire } B + \text{aire } C (<0)$$

**Net indicated work (Travail indiqué) :**

$$W_{i,n} = W_{i,g} - W_p = \text{aire } A - \text{aire } B$$

## Puissance Indiquée

$$\dot{W}_i = \frac{W_i N}{n_R} \quad \frac{(kJ/cycle)(rev/s)}{rev/cycle}$$

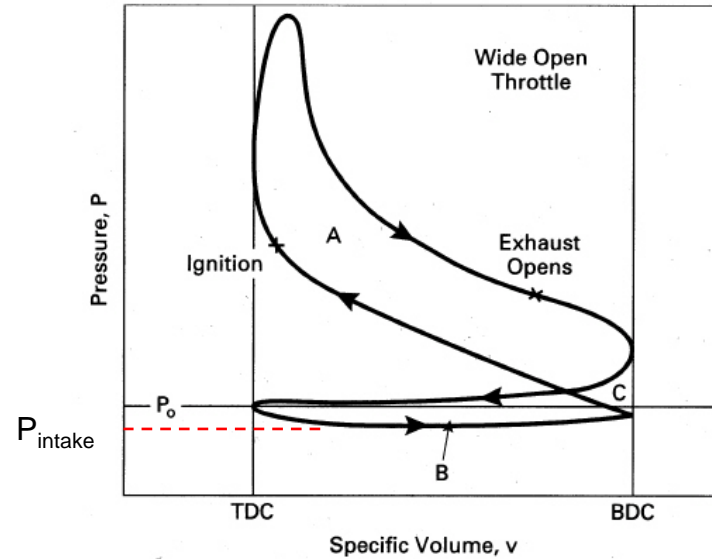
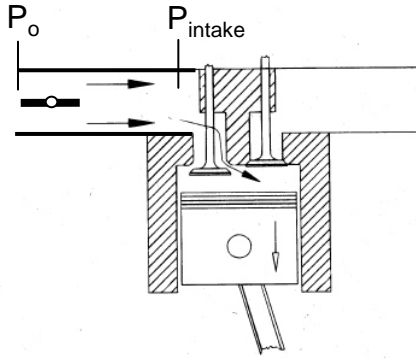
avec  $N$  – vitesse rotation in rev/s  
 $n_R$  – nombre de tours par cycle  
 = 2 en 4-temps  $W$   
 = 1 en 2-temps

La  $P_i$  peut être augmentée :

- Taille du moteur,  $V_d$
- « Taux de compression » ,  $r_c$
- Vitesse,  $N$

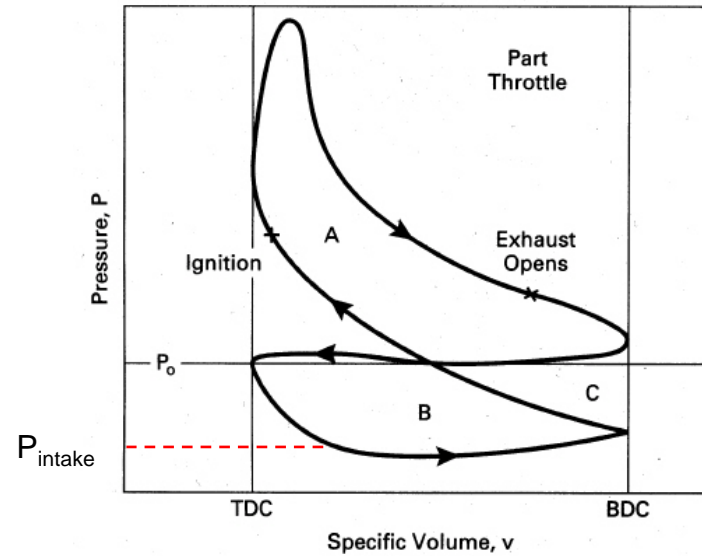
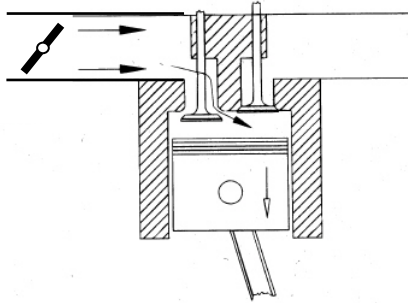
# Travail indiqué papillon ouvert

Légère dépression admission



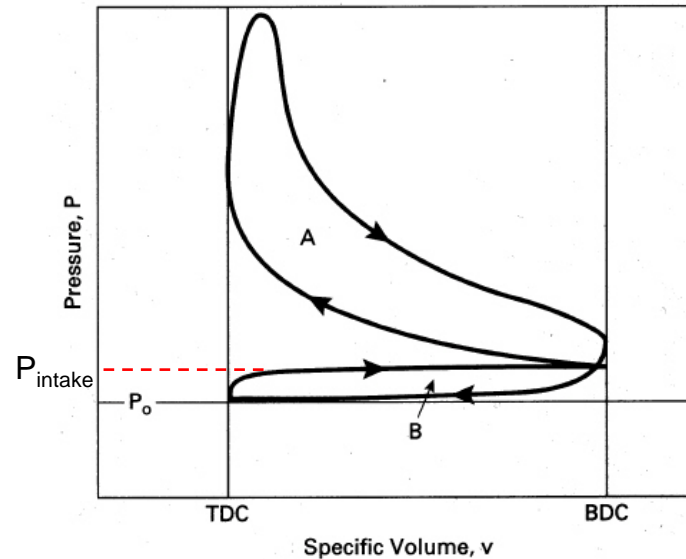
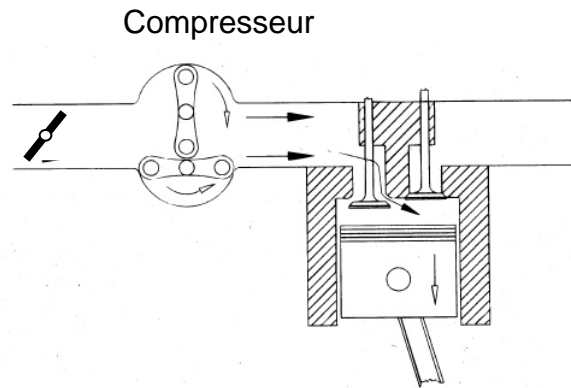
## Travail indiqué papillon fermé

Dépression importante admission



## Travail indiqué en suralimentation

On peut obtenir des pressions admission supérieures aux pressions échappement, pompage positif



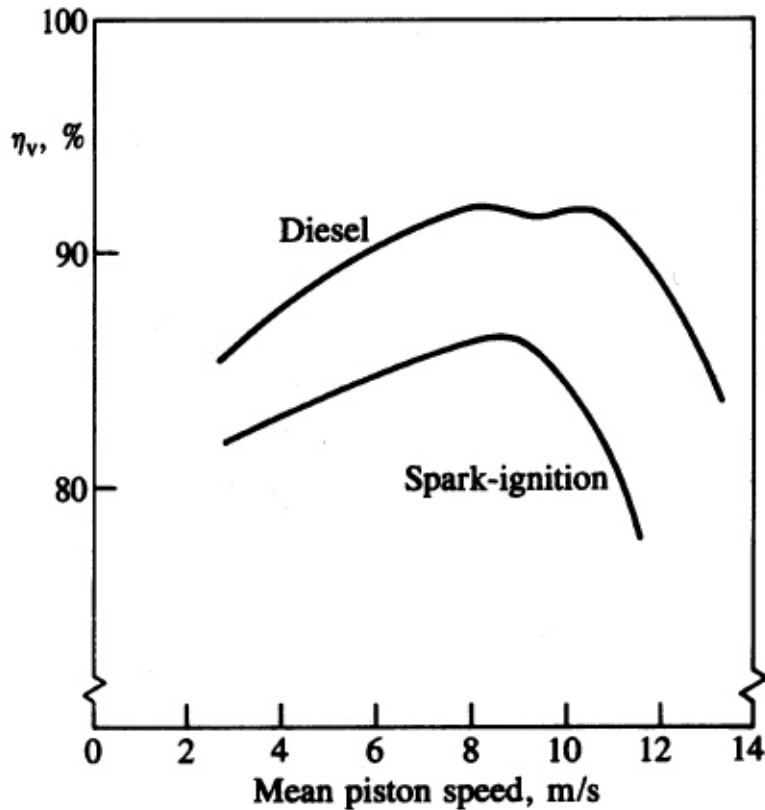
## Rendement mécanique

$$\dot{W}_f = \dot{W}_{i,g} - \dot{W}_b$$

$$\eta_m = \frac{\dot{W}_b}{\dot{W}_{i,g}} = \frac{\dot{W}_{i,g} - \dot{W}_f}{\dot{W}_{i,g}} = 1 - \frac{\dot{W}_f}{\dot{W}_{i,g}}$$

## Rendement de Remplissage

$$\eta_v = \frac{2m_a}{\rho_{a,o}V_d}$$



Dépend des facteurs:

- i) Evaporation combustible
- ii) Température du Mélange
- iii) Pertes de charge
- iv) Effets dynamiques des gaz
- v) Synchro. soupapes

Ou vitesse moteur :  $N = (S/2) \cdot \bar{U}_p$

$$P = \frac{\eta_c \cdot \eta_v \cdot N \cdot V_c \cdot PCI \cdot \rho_a \cdot (1/\lambda)}{n}$$

$$C = \frac{\eta_c \cdot \eta_v \cdot V_c \cdot PCI \cdot \rho_a \cdot (1/\lambda)}{2\pi \cdot n}$$

$$pme = \eta_c \cdot \eta_v \cdot PCI \cdot \rho_a \cdot (1/\lambda)$$

Pression moyenne indiquée

$$P_i = p_{mi} \cdot V_c \cdot n$$

Pression moyenne effective

$$P_e = p_{me} \cdot V_c \cdot n$$

$$n = \frac{N}{2 \times 60} : 4 \text{ temps}$$

$$n = \frac{N}{1 \times 60} : 2 \text{ temps, si N en tr/min}$$

pme : 3 ————— 21 bar s  
 Endurance ————— Puissance

Cylindrée : Vc

Mono-cylindre

Multi-cylindre

Simplicité

Prix

Grand alésage/course/encombrement

Faible alésage/course/encombrement

Faible vitesse

Grande vitesse

Vitesse moyenne de piston

$$v_{mp} = \frac{2CN}{60} : 6 \text{ m/s pistons fonte}$$

12 à 22 m/s pistons alliage léger

Rapport volumétrique

$$\tau_v = \frac{V_m + V_c}{V_m} : 10 \text{ à } 11 \text{ en allumage commandé (limité par cliquetis, } P_{max} \sim 70 \text{ bar)}$$

18 à 22 en Diesel (limité par efforts,  $P_{max} \sim 150 \text{ bar}$ )

Géométrie

C/d = 1 : moteur carré

&lt;1 moteur course longue : lent

&gt;1 moteur super carré : rapide

Mode d'injection

Fraction brûlée à volume constant : 75 % allumage commandé  
 25 % Diesel injection indirecte  
 30 % Diesel injection directe

**TABLE 2.1**  
**Typical design and operating data for internal combustion engines**

	Operating cycle	Compression ratio	Bore, m	Stroke/bore	Rated maximum			Weight/power ratio, kg/kW	Approx. best bsfc, g/kW·h
					Speed, rev/min	bmeq, atm	Power per unit volume kW/dm <sup>3</sup>		
<i>Spark-ignition engines:</i>									
Small (e.g., motorcycles)	2S,4S	6-11	0.05-0.085	1.2-0.9	4500-7500	4-10	20-60	5.5-2.5	350
Passenger cars	4S	8-10	0.07-0.1	1.1-0.9	4500-6500	7-10	20-50	4-2	270
Trucks	4S	7-9	0.09-0.13	1.2-0.7	3600-5000	6.5-7	25-30	6.5-2.5	300
Large gas engines	2S,4S	8-12	0.22-0.45	1.1-1.4	300-900	6.8-12	3-7	23-35	200
Wankel engines	4S	≈ 9	0.57 dm <sup>3</sup> per chamber		6000-8000	9.5-10.5	35-45	1.6-0.9	300
<i>Diesel engines:</i>									
Passenger cars	4S	17-23	0.075-0.1	1.2-0.9	4000-5000	5-7.5	18-22	5-2.5	250
Trucks (NA)	4S	16-22	0.1-0.15	1.3-0.8	2100-4000	6-9	15-22	7-4	210
Trucks (TC)	4S	14-20	0.1-0.15	1.3-0.8	2100-4000	12-18	18-26	7-3.5	200
Locomotive, industrial, marine	4S,2S	12-18	0.15-0.4	1.1-1.3	425-1800	7-23	5-20	6-18	190
Large engines, marine and stationary	2S	10-12	0.4-1	1.2-3	110-400	9-17	2-8	12-50	180

## Typical 1998 Passenger Car Engine Characteristics

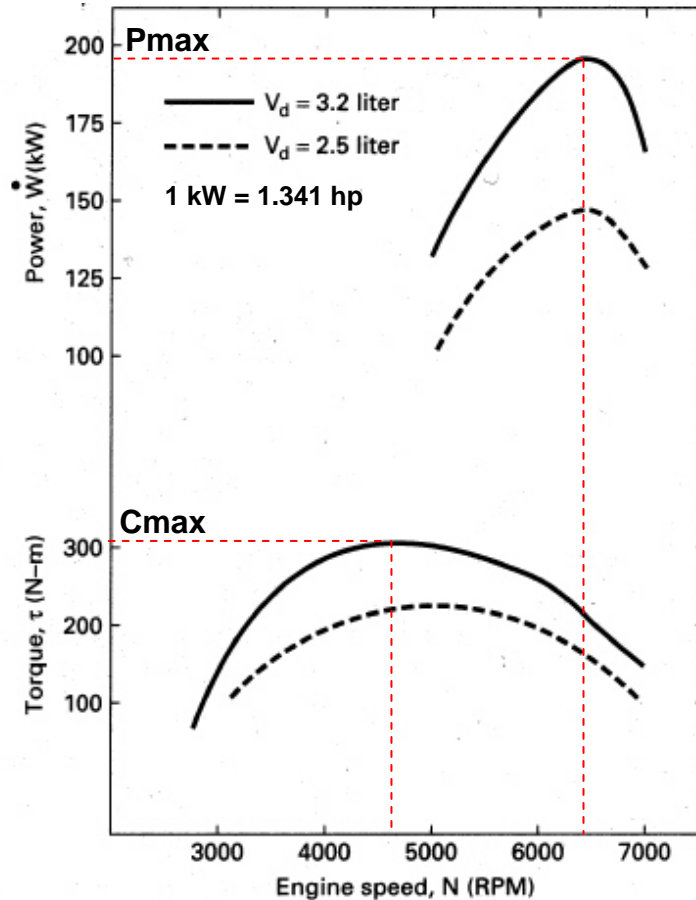
Vehicle	Engine type	Displ. (L)	Max Power (HP@rpm)	Max Torque (lb-ft@rpm)	BMEP at Max BT (bar)	BMEP at Rated BP (bar)
Mazda Protégé LX	L4	1.839	122@6000	117@4000	10.8	9.9
Honda Accord EX	L4	2.254	150@5700	152@4900	11.4	10.4
Mazda Millenia S	L4 Turbo	2.255	210@5300	210@3500	15.9	15.7
BMW 328i	L6	2.793	190@5300	206@3950	12.6	11.5
Ferrari F355 GTS	V8	3.496	375@8250	268@6000	13.1	11.6
Ferrari 456 GT	V12	5.474	436@6250	398@4500	12.4	11.4
Lamborghini Diablo VT	V12	5.707	492@7000	427@5200	12.7	11.0

# Courbes de performances

## Puissance et couple à pleine charge

$$\dot{W} \propto N \cdot W_{\text{cycle}}$$

$$T \propto W_{\text{cycle}}$$



La puissance passe par un maximum.  
A grande vitesse la puissance diminue à cause des frottements

$$\dot{W}_b = \dot{W}_{i,g} - \dot{W}_f$$

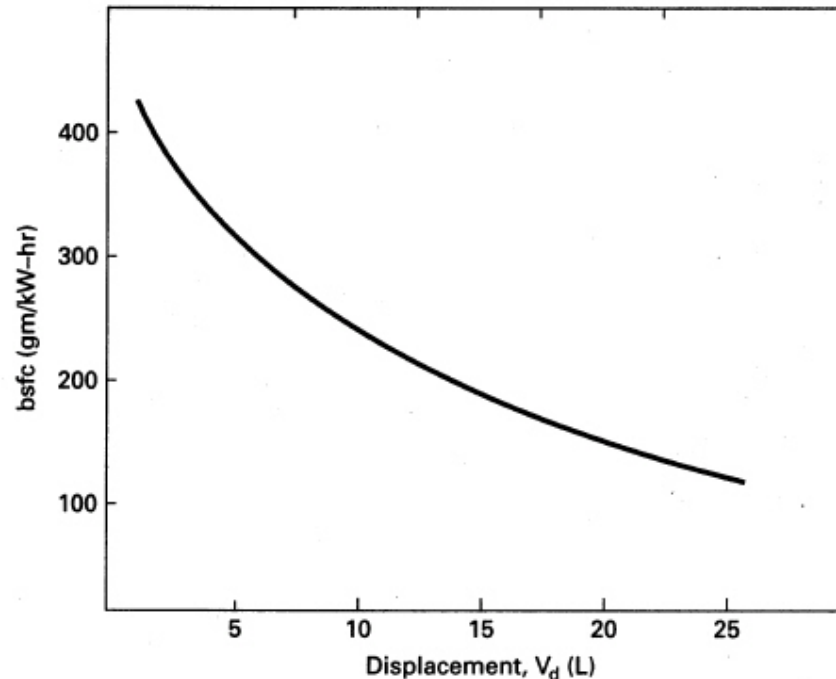
Le couple passe par un maximum.

Le couple diminue:

- à faible vitesse à cause des pertes thermiques
- à grande vitesse à cause du remplissage

## Consommation spécifique et taille moteur

- cse diminue avec la taille à cause de la diminution relative des pertes thermiques.

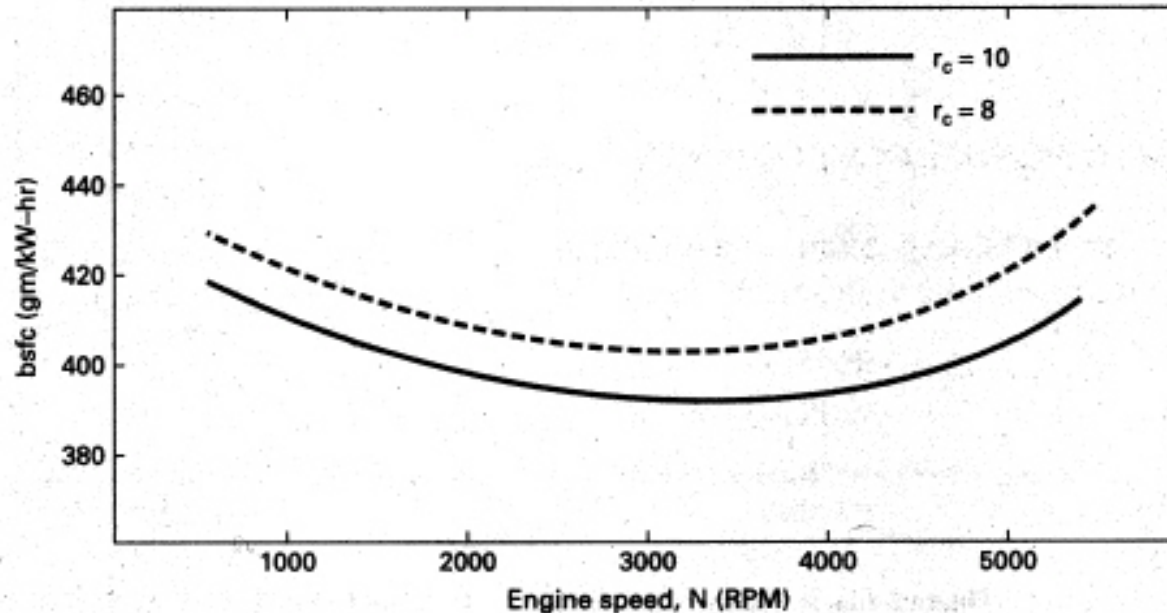


- Le rapport Surface-cylindre sur volume-cylindre augmente avec l'alésage.

$$\frac{\text{cylinder surface area}}{\text{cylinder volume}} = \frac{2\pi rL}{\pi r^2 L} \propto \frac{1}{r}$$

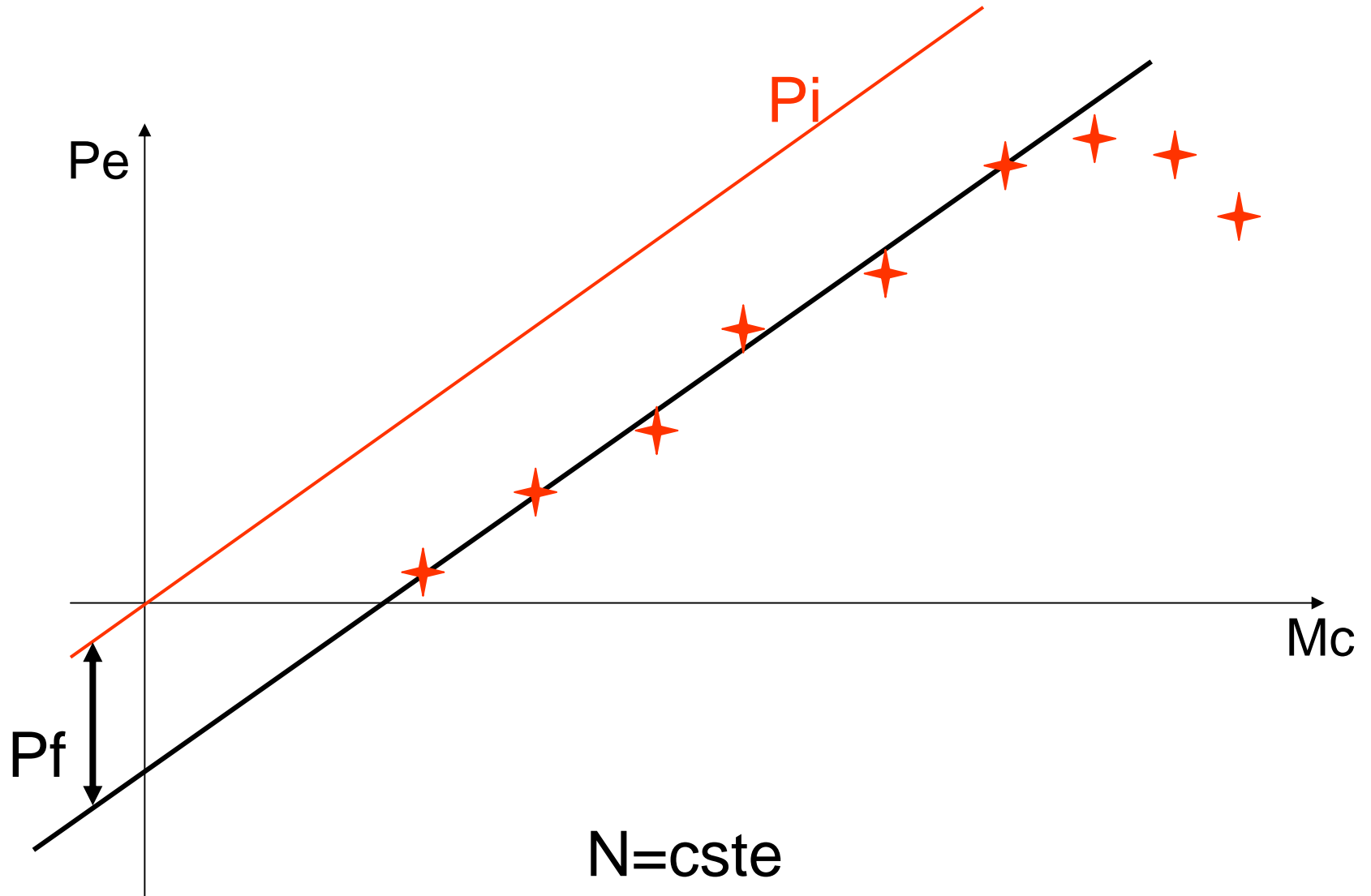
## Cse et vitesse

- La cse passe par un minimum



- A grande vitesse cse augmente à cause des frottements
- A faible vitesse cse augmente à cause du temps imparti aux échanges aux parois
- cse augmente avec le taux de compression à cause des pertes thermiques plus importantes (niveaux de pression et température plus élevés)

# Droites de Willans



## Courbes iso-cse

$$b_{mep} = \frac{2\pi \cdot T \cdot n_R}{V_d}$$

$$b_{sfc} = \frac{\dot{m}_f}{\dot{W}_b}$$

$$\dot{W}_b = (2\pi \cdot N) \cdot T$$

